

(19)



Евразийское  
патентное  
ведомство

(21)

201690383

(13)

A1

**(12) ОПИСАНИЕ ИЗОБРЕТЕНИЯ К ЕВРАЗИЙСКОЙ ЗАЯВКЕ**

**(43)** Дата публикации заявки  
**2016.06.30**

**(51)** Int. Cl. *C07K 16/28* (2006.01)  
*A61K 39/395* (2006.01)

**(22)** Дата подачи заявки  
**2014.08.13**

---

**(54) НОВЫЕ АНТИТЕЛА К FC-γ-РЕЦЕПТОРУ ПВ И ИХ ПРИМЕНЕНИЯ**

---

**(31)** 13004094.2

**(57)** Настоящим изобретением предусматриваются антитела к Fc $\gamma$ R<sub>IIIB</sub>, которые по сравнению с антителами из уровня техники значительно повышают фосфорилирование ITIM Fc $\gamma$ R<sub>IIIB</sub>, и, следовательно, их можно применять для лечения или профилактики аутоиммунных заболеваний.

**(32)** 2013.08.16

**(33)** ЕР

**(86)** PCT/EP2014/002234

**(87)** WO 2015/022077 2015.02.19

**(71)** Заявитель:

ЗУППРЕМОЛЬ ГМБХ (DE)

**(72)** Изобретатель:

Сондерман Петер, Поль Томас, Тер  
Мер Доминик, Карле Анна, Эхальт  
Даниэла, Рит Николе (DE)

**(74)** Представитель:

Носырева Е.Л. (RU)

201690383

A1

A1

201690383

## НОВЫЕ АНТИТЕЛА К FC-ГАММА-РЕЦЕПТОРУ ПВ И ИХ ПРИМЕНЕНИЯ

**[001]** Рецепторы Fc $\gamma$ RII, члены суперсемейства белков из генов иммуноглобулинов, представляют собой интегральные мембраносвязанные гликопroteины из одной полипептидной цепи с молекулярной массой 40 кДа, состоящие из двух внеклеточных иммуноглобулиновых доменов, одного трансмембранных домена и цитоплазматического домена переменной длины. Рецепторы Fc $\gamma$ RII экспрессируются на ряде гемопоэтических клеток и являются единственными Fc-рецепторами на человеческих тромбоцитах и мегакариоцитах (Cassel, McKenzie, 1993). У людей известны три типа рецепторов Fc $\gamma$ RII, Fc $\gamma$ RIIA, Fc $\gamma$ RIIB и Fc $\gamma$ RIIC, все из которых связываются с IgG (например, с IgG1 с аффинностью  $1-2 \times 10^6 M^{-1}$ ) или иммунными комплексами (IC, например, опсонизированные IgG патогены). Fc $\gamma$ RIIA и Fc $\gamma$ RIIB отличаются друг от друга главным образом вследствие различий в цитоплазматических доменах, которые в конечном счете приводят к функционально неоднородным ответам на лигирование рецептора. Запуск Fc $\gamma$ RIIA приводит к активации клетки (например, фагоцитозу, окислительному взрыву), и Fc $\gamma$ RIIB инициирует ингибирующие сигналы, приводящие в результате, например, к ингибированию активации В-клеток. Fc $\gamma$ RIIC имеет общий внеклеточный домен с Fc $\gamma$ RIIB и цитоплазматический домен с Fc $\gamma$ RIIA, таким образом передавая активирующие сигналы после связывания с IgG или IC. Fc $\gamma$ RIIB экспрессируется на всех лейкоцитах за исключением Т- и NK-клеток и является единственным ингибирующим Fc-рецептором, экспрессирующимся на человеческих В-клетках. Монакроциты, макрофаги, дендритные клетки, базофилы и тучные клетки совместно экспрессируют активирующий receptor Fc $\gamma$ RIIA и ингибирующий receptor Fc $\gamma$ RIIB, а Fc $\gamma$ RIIC экспрессируется на естественных клетках- киллерах (NK-клетках) и составляет единственные Fc $\gamma$ R на этом типе клеток. Известны две изоформы для Fc $\gamma$ RIIB, которые отличаются своей биологической функцией.

Fc $\gamma$ RIIB-1 экспрессируется исключительно на В-клетках, тогда как Fc $\gamma$ RIIB-2, который вызывает индукцию эндо-/фагоцитоза после связывания с IC, обнаруживается на всех остальных экспрессирующих Fc $\gamma$ RIIB клетках (Nimmerjahn, Ravetch, 2008).

**[002]** Fc $\gamma$ RIIB характеризуется 93% гомологией во внеклеточном участке с Fc $\gamma$ RIIA. Как изложено выше, главное различие между Fc $\gamma$ RIIA и Fc $\gamma$ RIIB находится в цитоплазматическом домене. При том, что Fc $\gamma$ RIIA содержит ITAM (иммунорецепторный тирозиновый активирующий мотив), Fc $\gamma$ RIIB содержит ITIM (иммунорецепторный тирозиновый ингибирующий мотив).

**[003]** Образование скоплений Fc $\gamma$ RIIA посредством связывания с IC приводит к совместной локализации мотива ITAM с рецептор-ассоциированными киназами, осуществляющими фосфорилирование тирозиновых остатков в мотиве ITAM (консенсусная последовательность: Y-X<sub>2</sub>-L/I-X<sub>8</sub>-Y-X<sub>2</sub>-L/I, Isakov, 1997), и последующему взаимодействию с киназой Syk, которая осуществляет активацию клетки посредством многочисленных событий дальнейшей передачи сигнала и активации генов (Ghazizadeh et al., 1994). Связывание иммуноглобулина с активирующим Fc $\gamma$ RIIA вызывает провоспалительный ответ, который впоследствии приводит к удалению патогенов, но в случае аутоиммунного антитела также может приводить к разрушению здоровых тканей, достигающему пика при патологическом аутоиммунном заболевании. Таким образом, точный контроль специфичности антитела и система с отрицательной обратной связью необходимы для избежания aberrантного повреждения организма иммунной системой. Ингибирующий Fc $\gamma$ RIIB рецептор является частью этой системы с отрицательной обратной связью.

**[004]** Fc $\gamma$ RIIB характеризуется наличием мотива ITIM (консенсусная последовательность: V/I-X-Y-X<sub>2</sub>-V/L, Isakov, 1997) в цитоплазматическом домене, который фосфорилируется киназой Lyn после связывания с Ig-агрегатами или IC и совместного лигирования с несущими ITAM активирующими Fc $\gamma$ -рецепторами. Фосфорилированный ITIM притягивает SH2-домен инозитол-полифосфат-5'-фосфатазы (SHIP), которая, в свою очередь, гидролизует фосфоинозитольные мессенджеры, высвобождающиеся как

следствие опосредованной ITAM-содержащим Fc $\gamma$ R активации тирозинкиназы, таким образом предотвращая приток внутриклеточного Ca<sup>2+</sup>. Перекрестное сшивание Fc $\gamma$ RIIB ингибитирует активирующий ответ на лигирование Fc $\gamma$ R, что, в свою очередь, ингибитирует активацию, пролиферацию В-клеток и секрецию ими антител.

**[005]** Fc $\gamma$ RIIB характеризуется двумя ингибиторными активностями. Как упоминалось выше, одна из них зависит от мотива ITIM и наблюдается, когда Fc $\gamma$ RIIB лигируется с несущим ITAM рецептором (например, Fc $\gamma$ RIIA), что приводит в результате к ингибированию запускаемой ITAM мобилизации кальция и клеточной пролиферации. Это означает, что кальций-зависимые процессы, такие как дегрануляция, фагоцитоз, ADCC, высвобождение цитокинов и провоспалительная активация, а также пролиферация В-клеток, блокируются Fc $\gamma$ RIIB. Вторая ингибирующая активность Fc $\gamma$ RIIB включает гомоагрегацию рецептора на В-клетках (образование скоплений Fc $\gamma$ RIIB). Гомоагрегация доставляет проапоптотический сигнал в цитоплазму, что может блокироваться при лигировании Fc $\gamma$ RIIB с В-клеточным рецептором (BCR). Передача сигнала BCR после связывания с мультивалентным антигеном характеризуется фосфорилированием кластеризованного BCR с помощью Lyn, киназы из семейства Src. Это осуществляющее Lyn фосфорилирование совпадает с ассоциацией BCR с богатыми сфинголипидами и холестерином микродоменами мембранны, которые называются липидными рафтами. Эти нерастворимые липидные рафты играют важную роль в образовании иммунного синапса. Наблюдалось, что взаимодействие BCR с антигеном на APC (антигенпрезентирующей клетке) приводит к образованию этого иммунного синапса в зоне взаимодействия находящихся в контакте В-клетки и APC. Совместное лигирование Fc $\gamma$ RIIB с BCR дестабилизирует ассоциацию BCR с липидными рафтами, как следствие блокируя образование иммунного синапса В-клеткой. Ингибирование Fc $\gamma$ RIIB передачи сигнала с помощью BCR включает фосфорилирование тирозиновых остатков в ITIM цитоплазматического домена рецептора киназой Lyn и последующее привлечение инозитол-fosfatазы SHIP (Daeron et al., 1995, Ravetch and Bolland, 2001).

Научным сообществом принято, что Fc $\gamma$ RIIB может рассматриваться как поздняя контрольная точка в ходе развития периферических В-клеток и что он также непосредственно регулирует выживание плазматических клеток. Следовательно, Fc $\gamma$ RIIB считается значимой мишенью для лечения нарушений, связанных с В-клетками, и, в особенности, с опосредуемыми В-клетками иммунными ответами.

**[006]** В исследованиях на мышах и людях уже выяснили влияние Fc $\gamma$ RIIB на активность В-клеток и толерантность при гуморальном иммунном ответе, где пониженная экспрессия Fc $\gamma$ RIIB или ее отсутствие приводили в результате к развитию или обострению проявляющихся аутоиммунных заболеваний. Действительно, Fc $\gamma$ RIIB играет ключевую роль в развитии и протекании аутоиммунных заболеваний, таких как первичная иммунная тромбоцитопения, системная красная волчанка, ревматоидный артрит (RA), буллезная пузырчатка, обыкновенная пузырчатка и другие формы пузырчатки, запускаемый В-клетками рассеянный склероз и другие аутоиммунные заболевания, характеризующиеся развитием патогенных иммунных комплексов. В ходе иммунной реакции у здорового индивида патогены, которые попали в кровоток, опсонизируются антителами (иммуноглобулинами, Ig), направленными против эпитопов патогенных организмов, что, в свою очередь, приводит к образованию так называемых иммунных комплексов. Эти иммунные комплексы затем подвергаются фагоцитозу специфическими клетками иммунной системы (например, макрофагами, нейтрофилами, фагоцитами), что приводит к выведению патогенных организмов из кровотока. Также было показано, что Fc $\gamma$ RIIB играет решающую роль в периферической толерантности, поскольку у нокаутных по Fc $\gamma$ RIIB мышей развивались спонтанные аутоиммунные заболевания. Недостаточности Fc $\gamma$ RIIB приводят к чувствительности к индуцируемому аутоиммунному заболеванию (Bolland and Ravetch, 2000).

**[007]** У пациентов, страдающих от аутоиммунного заболевания, экспрессия Fc $\gamma$ RIIB на В-клетках обычно ослаблена или снижена по сравнению со здоровыми лицами. Принимая во внимание, например, что у наивных В-клеток проявляется нормальная экспрессия Fc $\gamma$ RIIB, у В-клеток памяти иblastных формах плазматических клеток от пациентов с RA (ревматоидным

артритом) проявляется пониженная экспрессия этого рецептора (Catalán, 2010). Xiang и коллеги также смогли показать, что перекрестное сшивание Fc $\gamma$ RIIB на бластных формах плазматических клеток от здоровых доноров посредством присоединенного к поверхности антитела 2.4G2 к FcRIIB приводит к апоптозу (Xiang et al., 2007).

**[008]** Исходя из очевидной роли Fc $\gamma$ RIIB в аутоиммунных заболеваниях, описанной выше, были разработаны антитела к рецептору с целью обеспечения возможности для лечения или диагностики пациентов. В патентном документе WO 2009/083009 раскрыты антитела к обеим изоформам Fc $\gamma$ RIIB, в то время как в патентном документе WO 2004/016750 раскрыты антитела, которые специфично связываются со внеклеточным доменом Fc $\gamma$ RIIB, эндогенно экспрессирующегося на человеческой клетке, с аффинностью, по меньшей мере в 10 раз большей, чем та, с которой такие антитела связываются с Fc $\gamma$ RIIA, экспрессирующемся на человеческой клетке, принимая во внимание, что внеклеточный домен Fc $\gamma$ RIIB и Fc $\gamma$ RIIA характеризуется высокой степенью идентичности. В патентном документе EP 1709073 раскрыты антитела, которые являются высокоспецифичными в отношении Fc $\gamma$ RIIB, и их применение для диагностики и лечения аутоиммунных заболеваний, инфекций, опухолей и других аномальных состояний.

**[009]** Для данной цели весьма желательным является применение антител с высокой специфичностью и аффинностью к рецептору. В частности, высокая специфичность снижает риск перекрестных реакций антитела и, вследствие этого, отрицательные побочные эффекты, а высокая аффинность повышает действенность и эффективность его применения. Также желательно, чтобы такие антитела являлись неблокирующими, т.е. чтобы их связывание с Fc-рецептором через их вариабельный участок не препятствовало связыванию иммунных комплексов (IC) или агрегированного IgG с клетками. Более того, очень желательным выгодным свойством антитела к Fc $\gamma$ RIIB является то, что оно воздействует на механизм ингибирующего присоединения Fc $\gamma$ RIIB для контроля активации В-клеток. А именно, известно, что внеклеточная часть Fc $\gamma$ RIIB содержит так называемый ITIM и что путь передачи сигнала через несущие ITIM

рецепторы обычно является ингибирующим в регуляции иммунной системы. Как описано выше, известно, что Fc $\gamma$ RIIB имеет ингибирующую регуляторную функцию, когда он связывается Fc частью молекул IgG. Следовательно, желательно использовать ингибирующую регуляторную функцию Fc $\gamma$ RIIB с целью контроля В-клеток, которые вовлечены, *inter alia*, в аутоиммунные заболевания..

В итоге, хотя в уровне техники уже раскрыто несколько антител к Fc $\gamma$ RIIB с различными специфичностями и аффинностями, все еще существует потребность в улучшенных антителах к Fc $\gamma$ RIIB для применения в лечении, профилактике и диагностике аутоиммунных заболеваний у субъекта.

**[0010]** Настоящая заявка удовлетворяет данную потребность, обеспечивая антитела, описанные ниже в данном документе, охарактеризованные в пунктах формулы изобретения и проиллюстрированные прилагаемыми примерами и фигурами.

**[0011]** Неожиданно, авторы настоящего изобретения наблюдали, что антитела, обеспечиваемые настоящим изобретением, заметно повышают фосфорилирование ITIM, по сравнению с антителами, раскрытыми в уровне техники, которые также специфично связываются с Fc $\gamma$ RIIB, антитела в соответствии с настоящим изобретением неожиданно проявляют гораздо более сильный эффект в отношении фосфорилирования ITIM, который не мог ожидаться. Такой сильный эффект является преимущественным. В частности, соединение активации-ингибирования, соединение в паре положительного сигнала с ингибирующей петлей, контролирует величину и длительность многих биологических процессов. В В-лимфоцитах распознавание антигена клонотипическим В-клеточным рецептором (BCR) индуцирует сигнал, который может управлять клональным размножением, дифференцировкой, высвобождением цитокинов и, в конечном итоге, продукцией Ig. Неконтролируемая активация предотвращается при угасании активирующего стимула, а также за счет запуска петли отрицательной обратной связи, которая включает взаимодействие с ингибирующим Fc $\gamma$ -рецептором (Fc $\gamma$ R), Fc $\gamma$ RIIb (CD32B). Последний механизм запускается, когда BCR распознает антиген в

составе иммунного комплекса, что приводит в результате к сопутствующему взаимодействию Fc-домена IgG, связанного с комплексом, с CD32B, тем самым предотвращая размножение клонов В-клетки, которая имеет такую же специфичность, как распознаваемая растворимым IgG. Таким образом, успешная стратегия отрицательной регуляции должна формировать молекулярную основу для петли передачи отрицательного сигнала.

Антитела, предполагаемые настоящим изобретением, проявляют значительно более сильный эффект в отношении фосфорилирования ITIM в CD32B, и, следовательно, ожидается, что они оказывают более сильное воздействие на петлю передачи отрицательного сигнала, запускаемую фосфорилированием ITIM в CD32B, что, в свою очередь, контролирует В-клетки, вовлеченные, *inter alia*, в аутоиммунные заболевания.

Конкретно, антитела согласно настоящему изобретению предпочтительно повышают фосфорилирование ITIM в Fc $\gamma$ RIIB у клеток Daudi по сравнению с клетками Daudi, не обработанными указанным антителом. Повышение предпочтительно является 1,5, 2, 3, 4, 5, 6, 7, 8, 9 или 10-кратным. Исходя из известных из уровня техники антител, которые связываются с CD32B, преимущественные свойства антител согласно настоящему изобретению нельзя было ни ожидать, ни предугадать, не говоря уже о том, что было возможно оправданное ожидание успеха их получения, в частности, CDR или вариабельных участков тяжелой и/или легкой цепей, охарактеризованных в данном документе. В дополнение к этому улучшенному свойству антител согласно настоящему изобретению антитела, описанные в данном документе, также характеризуются высокой специфичностью в отношении человеческого Fc $\gamma$ RIIB и/или являются неблокирующими, т.е. их связывание с Fc-рецептором через их вариабельный участок(вариабельные участки) не препятствует связыванию иммунных комплексов (IC) или агрегированных IgG с клетками.

**[0012]** Соответственно, настоящее изобретение предусматривает антитело к Fc $\gamma$ RIIB, предпочтительно IgG-типа, которое содержит в своем вариабельном

участке тяжелой цепи H-CDR1, H-CDR2 и H-CDR3, которые приведены под SEQ ID NO. 29, 30 и 31, и в своем вариабельном участке легкой цепи L-CDR1, L-CDR2 и L-CDR3, приведенные под SEQ ID NO. 32, 33 и 34. Такое антитело повышает фосфорилирование ITIM в Fc $\gamma$ RIIB клеток Daudi приблизительно в 4-10 раз по сравнению с клетками Daudi, не обработанными указанным антителом.

Из фигуры 7 понятно, что антитела GB3 (см. WO 2005/051999) и 2B6 (см. WO 2004/016750) из уровня техники не способны повышать фосфорилирование ITIM в Fc $\gamma$ RIIB так, как его может повышать антитело согласно настоящему изобретению, такое как 8A6 – либо в виде химерного, либо гуманизированного антитела 8A6. Таким образом, оказывается, что способность или неспособность, соответственно, к повышению фосфорилирования ITIM в Fc $\gamma$ RIIB зависит от CDR, в особенности от некоторых ключевых остатков, которые присутствуют в 8A6, но не присутствуют в GB3 и/или 2B6, соответственно. Следовательно, аминокислоты, которые присутствуют только в CDR 8A6 в положениях, которые отвечают соответствующим положениям в CDR 2B6 или GB3, можно считать “ключевыми остатками”.

**[0013]** Визуальное сравнение CDR из 2B6, GB3 и 8A6 в отношении ключевых остатков выявило, что антитело согласно настоящему изобретению содержит в H-CDR1 аминокислотную последовательность, приведенную под SEQ ID под SEQ ID NO. 29, в H-CDR2 оно содержит аминокислотную последовательность, приведенную под SEQ ID NO. 30, в H-CDR3 оно содержит аминокислотную последовательность, приведенную под SEQ ID NO. 31, в L-CDR1 оно содержит аминокислотную последовательность, приведенную под SEQ ID NO. 32, в L-CDR2 оно содержит аминокислотную последовательность, приведенную под SEQ ID NO. 33, и в L-CDR3 оно содержит аминокислотную последовательность, приведенную под SEQ ID NO. 34.

**[0014]** Различия между аминокислотными последовательностями CDR 8A6, GB3 и 2B6 можно выразить в виде степени идентичности (идентичности в %), которая допускается в CDR антитела согласно настоящему изобретению при использовании CDR 8A6 в качестве эталонных последовательностей.

Соответственно, H-CDR1 антитела согласно настоящему изобретению предпочтительно характеризуется идентичностью на 60% или более, как например, на 70%, 80% или 90%, с H-CDR1, который приведен под SEQ ID NO. 20.

H-CDR2 антитела согласно настоящему изобретению предпочтительно характеризуется идентичностью на 36% или более, как например, на 40%, 50%, 60%, 70%, 80% или 90%, с H-CDR2, который приведен под SEQ ID NO. 21.

H-CDR3 антитела согласно настоящему изобретению предпочтительно характеризуется идентичностью 50% или более, как например, 60%, 70%, 80% или 90%, с H-CDR3, который приведен под SEQ ID NO. 22.

L-CDR1 антитела согласно настоящему изобретению предпочтительно характеризуется идентичностью 64% или более, как например, 70%, 80% или 90%, с L-CDR1, который приведен под SEQ ID NO. 23.

L-CDR2 антитела согласно настоящему изобретению предпочтительно характеризуется идентичностью 29% или более, как например, 40%, 50%, 60%, 70%, 80% или 90%, с L-CDR2, который приведен под SEQ ID NO. 24.

L-CDR3 антитела согласно настоящему изобретению предпочтительно характеризуется идентичностью 78% или более, как например, 80% или 90%, с L-CDR3, который приведен под SEQ ID NO. 25.

**[0015]** Соответственно, настоящее изобретение предусматривает антитело к Fc $\gamma$ RIIB, которое содержит в своем вариабельном участке тяжелой цепи последовательность H-CDR1, которая на 60% или более идентична последовательности H-CDR1, приведенной под SEQ ID NO. 20, последовательность H-CDR2, которая на 36% или более идентична последовательности H-CDR2, приведенной под SEQ ID NO. 21, последовательность H-CDR3, которая на 50% или более идентична последовательности H-CDR3, приведенной под SEQ ID NO. 22, последовательность L-CDR1, которая на 64% или более идентична

последовательности L-CDR1, приведенной под SEQ ID NO. 23, последовательность L-CDR2, которая на 29% или более идентична последовательности L-CDR2, приведенной под SEQ ID NO. 24, и последовательность L-CDR3, которая на 78% или более идентична последовательности L-CDR3, приведенной под SEQ ID NO. 25.

Предпочтительно такое антитело все еще содержит в своих CDR в вариабельном участке тяжелой и легкой цепей “ключевые остатки”, которые определены под SEQ ID NO. 29, 30, 31 (H-CDR) и которые определены под SEQ ID NO. 32, 33 и 34 (L-CDR).

Такое антитело предпочтительно повышает фосфорилирование ITIM в Fc $\gamma$ RIIB клеток Daudi приблизительно в 4-10 раз по сравнению с клетками Daudi, не обработанными указанным антителом.

**[0016]** Используемый в данном документе термин “% идентичность” относится к процентной доле идентичных аминокислотных остатков в соответствующем положении в последовательности при сравнении двух аминокислотных последовательностей с использованием оптимального выравнивания последовательностей, которое проиллюстрировано на примере методик ClustalW или X, доступных по адресу [www.clustal.org](http://www.clustal.org), или эквивалентных методик. Например, в случае выравниваний CDR каждый из CDR (из вариабельного участка тяжелой и легкой цепей, соответственно), приведенных под SEQ ID NO. 20-25, служит в качестве эталонной последовательности для представляющей интерес последовательности CDR вариабельного участка тяжелой или легкой цепи, соответственно, например, H-CDR1 с SEQ ID NO. 20 выравнивают с представляющим интерес H-CDR1. Соответственно, выравнивают обе последовательности (эталонную последовательность и представляющую интерес последовательность), идентифицируют идентичные аминокислотные остатки у обеих последовательностей и общее количество идентичных аминокислот делят на общее количество аминокислот (длина в аминокислотах) под SEQ ID NO. 20, 21,

22, 23, 24 или 25, соответственно, в зависимости от того, выравнивают ли H-CDR1, H-CDR2, H-CDR3, L-CDR1, L-CDR2 или L-CDR3. Результат этого деления представляет собой значение в процентах, т.е. значение/степень идентичности идентичности в процентах.

**[0017]** Последовательности H-CDR1, приведенные под SEQ ID NO. 14 и 20, являются предпочтительными видами последовательностей из H-CDR1, приведенного под SEQ ID NO. 29.

Последовательности H-CDR2, приведенные под SEQ ID NO. 15 и 21, являются предпочтительными видами последовательностей из H-CDR2, приведенного под SEQ ID NO. 30.

Последовательности H-CDR3, приведенные под SEQ ID NO. 16 и 22, являются предпочтительными видами последовательностей из H-CDR3, приведенного под SEQ ID NO. 31.

Последовательности L-CDR1, приведенные под SEQ ID NO. 17 и 23, являются предпочтительными видами последовательностей из L-CDR1, приведенного под SEQ ID NO. 32.

Последовательности L-CDR2, приведенные под SEQ ID NO. 18 и 24, являются предпочтительными видами последовательностей из L-CDR2, приведенного под SEQ ID NO. 33.

Последовательности L-CDR3, приведенные под SEQ ID NO. 19 и 25, являются предпочтительными видами последовательностей из L-CDR3, приведенного под SEQ ID NO. 34.

**[0018]** Соответственно, настоящее изобретение предусматривает антитело к Fc $\gamma$ RIIB, предпочтительно IgG-типа, которое

(a) содержит в своем вариабельном участке тяжелой цепи H-CDR1, H-CDR2 и H-CDR3, которые приведены под SEQ ID NO. 14, 15 и 16, и в своем

вариабельном участке легкой цепи L-CDR1, L-CDR2 и L-CDR3, приведенные под SEQ ID NO. 17, 18 и 19; или

(b) содержит в своем вариабельном участке тяжелой цепи H-CDR1, H-CDR2 и H-CDR3, которые приведены под SEQ ID NO. 20, 21 и 22, и в своем вариабельном участке легкой цепи L-CDR1, L-CDR2 и L-CDR3, приведенные под SEQ ID NO. 23, 24 и 25,

где указанное антитело предпочтительно повышает фосфорилирование ITIM в Fc $\gamma$ RIIB клеток Daudi приблизительно в 4-10 раз по сравнению с клетками Daudi, не обработанными указанным антителом.

**[0019]** Антитела к Fc $\gamma$ RIIB, содержащие в своем вариабельном участке тяжелой цепи H-CDR1, H-CDR2 и H-CDR3, которые приведены под SEQ ID NO. 14, 15 и 16, и в своем вариабельном участке легкой цепи L-CDR1, L-CDR2 и L-CDR3, приведенные под SEQ ID NO. 17, 18 и 19, или имеющие в своем вариабельном участке тяжелой цепи H-CDR1, H-CDR2 и H-CDR3, которые приведены под SEQ ID NO. 20, 21 и 22, и в своем вариабельном участке легкой цепи L-CDR1, L-CDR2 и L-CDR3, приведенные под SEQ ID NO. 23, 24 и 25, являются предпочтительными антителами. Эти предпочтительные антитела предпочтительно повышают фосфорилирование ITIM в Fc $\gamma$ RIIB клеток Daudi приблизительно в 4-10 раз по сравнению с клетками Daudi, не обработанными указанным антителом.

**[0020]** При использовании в данном документе термин "антитело" означает белок, содержащий один или несколько полипептидов (содержащих один или несколько связывающих доменов, предпочтительно антигенсвязывающих доменов), в значительной степени или частично кодируемых генами иммуноглобулинов или фрагментами генов иммуноглобулинов. Термин "иммуноглобулин" (Ig) и термин "антитело" используются в данном документе взаимозаменяющими. Известные гены иммуноглобулинов включают гены константных участков каппа, лямбда, альфа, гамма, дельта, эпсилон и мю, а также бесчисленное множество генов вариабельных участков

иммуноглобулинов. В частности, при использовании в данном документе термин "антитело", как правило, означает тетрамерные гликозилированные белки, состоящие из двух легких (L) цепей, каждая массой примерно 25 кДа, и двух тяжелых (H) цепей, каждая массой примерно 50 кДа. В антителах могут присутствовать два типа легкой цепи, называемые лямбда и каппа. В зависимости от аминокислотной последовательности константного домена тяжелых цепей иммуноглобулины можно отнести к пяти основным классам: A, D, E, G и M, и несколько из них можно дополнительно поделить на подклассы (изотипы), например, IgG1, IgG2, IgG3, IgG4, IgA1 и IgA2, причем в контексте настоящего изобретения IgG является предпочтительным. Также предусматривается антитело согласно настоящему изобретению, которое имеет константный домен IgE или его часть, с которыми связывается Fc эпсилон рецептор I. Антитело IgM состоит из 5 из основных гетеротетрамерных единиц вместе с дополнительным полипептидом, называемым J-цепью, и содержит 10 антигенсвязывающих сайтов, тогда как антитела IgA содержат от 2 до 5 из основных единиц из 4 цепей, которые могут полимеризоваться с образованием поливалентных комплексов в сочетании с J-цепью. В случае IgG единица из 4 цепей обычно имеет массу приблизительно 150000 дальтон. Каждая легкая цепь включает N-концевой вариабельный (V) домен (VL) и константный (C) домен (CL). Каждая тяжелая цепь включает N-концевой V-домен (VH), три или четыре C-домена (CH) и шарнирный участок.

Константные домены не вовлечены напрямую в связывание антитела с антигеном, но могут проявлять различные эффекторные функции, такие как участие в антителозависимой клеточной цитотоксичности (ADCC). Если антитело должно вызывать ADCC, оно предпочтительно относится к подтипу IgG1, тогда как подтип IgG4 не будет обладать способностью к проявлению ADCC.

**[0021]** Используемый в данном документе термин "антитело" относится не только к иммуноглобулину (или интактному антителу), но также относится к его фрагменту и охватывает любой полипептид, содержащий антигенсвязывающий

фрагмент или антигенсвязывающий домен. Предпочтительно фрагмент, такой как Fab, F(ab'), F(ab')<sub>2</sub>, Fv, scFv, Fd, связанные дисульфидными связями Fv (sdFv) и другие фрагменты антитела, которые сохраняют антигенсвязывающую функцию, как описано в данном документе. Как правило, такие фрагменты будут содержать антигенсвязывающий домен и обладать такими же свойствами, что и антитела, описанные в данном документе.

**[0022]** Термин "антитело" также включает без ограничения, а также охватывает моноклональные, моноспецифичные, поли- или мультиспецифичные антитела, такие как биспецифичные антитела, гуманизированные, камелизированные, человеческие, одноцепочечные, химерные, синтетические, рекомбинантные, гибридные, мутированные, привитые и созданные *in vitro* антитела, причем химерные или гуманизированные антитела являются предпочтительными. Термином "гуманизированное антитело" обычно определяют антитело, в котором кодирующие специфичность CDR в HC и LC были перенесены в соответствующие каркасные части человеческих вариабельных участков ("CDR-прививка"). Термин "антитело" также включает scFv, одноцепочечные антитела, диатела или тетратела, доменные антитела (dAb) и нанотела. В контексте настоящего изобретения термин "антитело" также будет предусматривать би-, три- или мультимерные или би-, три- или мультифункциональные антитела, имеющие несколько антигенсвязывающих сайтов, при этом предпочтительно по меньшей мере один из них является Fc $\gamma$ RIB-специфичным связывающим сайтом.

**[0023]** Более того, используемый в настоящем изобретении термин "антитело" также относится к производным антител (в том числе к фрагментам), описанным в данном документе. "Производное" антитела содержит аминокислотную последовательность, которая была изменена путем введения замен, делеций или добавлений аминокислотных остатков. Кроме того, производное охватывает антитела, которые были модифицированы путем ковалентного присоединения молекулы любого типа к антителу или белку. Примеры таких молекул включают сахара, PEG, гидроксильные, этокси-, карбокси- или аминные группы, но не ограничиваются ими. Фактически

ковалентные модификации антител приводят к гликозилированию, пегилированию, ацетилированию, фосфорилированию, амидированию, но не ограничиваются ими.

**[0024]** Антитело согласно настоящему изобретению предпочтительно представляет собой "выделенное" антитело. Термин "выделенный" при использовании для описания антител, раскрытых в данном документе, означает антитело, которое было идентифицировано, отделено от компонентов среды для его получения и/или извлечено из нее. Предпочтительно выделенное антитело не находится в ассоциации со всеми другими компонентами из среды для его получения. Сопутствующие компоненты среды для получения антитела, как, например, происходящие из рекомбинантных трансфицированных клеток, являются материалами, которые, как правило, препятствуют диагностическим или терапевтическим применением полипептида, и они могут включать ферменты, гормоны и другие белковые или небелковые растворенные вещества. В предпочтительных вариантах осуществления антитело будет очищено (1) до степени, достаточной для получения по меньшей мере 15 остатков N-концевой или внутренней аминокислотной последовательности при использовании секвенатора с вращающимся стаканом, или (2) до однородности при SDS-PAGE (электрофорез в поликариламидном геле с додецилсульфатом натрия) в невосстановляющих или восстанавливающих условиях с использованием красителя кумасси синего или предпочтительно серебряного красителя. Тем не менее, обычно выделенное антитело будет получено с помощью по меньшей мере одного этапа очистки.

**[0025]** Используемый в данном документе термин "специфично связывается" относится к антителам или их фрагментам или производным, которые специфично связываются с Fc $\gamma$ RIIB или его фрагментом и не связываются специфично с другими Fc-рецепторами. Антитела или их фрагменты или производные в соответствии с настоящим изобретением связываются с Fc $\gamma$ RIIB через вариабельный домен антитела. Тем не менее, эти антитела также могут связываться с Fc гамма RIIB через их Fc-домен.

**[0026]** При образовании пары из VH и VL формируется один антигенсвязывающий сайт. СН-домен, наиболее близкий к VH, обозначается как CH1. Каждая L-цепь соединена с Н-цепью одной ковалентной дисульфидной связью, тогда как две Н-цепи связаны друг с другом одной или несколькими дисульфидными связями в зависимости от изотипа Н-цепи. VH- и VL-домены состоят из четырех участков с относительно консервативными последовательностями, называемых каркасными участками (FR1, FR2, FR3 и FR4), которые образуют остов для трех участков с гипервариабельными последовательностями (определяющие комплементарность участки, CDR). CDR содержат большинство остатков, ответственных за специфичные взаимодействия антитела с антигеном. CDR называются CDR1, CDR2 и CDR3. Соответственно, элементы CDR на тяжелой цепи называются H1 или H-CDR1, H2 или H-CDR2 и H3 или H-CDR3, тогда как элементы CDR на легкой цепи называются L1 или L-CDR1, L2 или L-CDR2 и L3 или L-CDR3.

**[0027]** Термин "вариабельный" относится к частям доменов иммуноглобулинов, которые проявляют вариабельность в своей последовательности и которые вовлечены в определение специфичности и аффинности связывания конкретного антитела (т.е. "вариабельный домен(вариабельные домены)"). Вариабельность не распределена равномерно по вариабельным доменам антител; она сконцентрирована в субдоменах каждого из вариабельных участков тяжелой и легкой цепей. Эти субдомены называются "определяющими комплементарность участками" (CDR). Термин "CDR", а также форма множественного числа "CDR" относятся к определяющим комплементарность участкам (CDR), из которых три определяют характер связывания вариабельного участка легкой цепи (L1-CDR1, L2-CDR и L3-CDR), и три определяют характер связывания вариабельного участка тяжелой цепи (H1-CDR, H2-CDR и H3-CDR). CDR вносят вклад в функциональную активность молекулы антитела и разделены аминокислотными последовательностями, которые содержат оставные или каркасные участки. Точные определяющие границы и длины CDR зависят от различных систем классификации и нумерации. Вследствие этого CDR могут обозначаться с использованием

определений границ по Kabat, Chothia, по остаткам в контактных доменах или по любым другим границам, в том числе с помощью системы нумерации, описанной в данном документе. Несмотря на отличающиеся границы, каждая из данных систем характеризуется некоторой степенью перекрывания в той части, которая составляет так называемые "гипервариабельные участки" в вариабельных последовательностях. Определения CDR в соответствии с этими системами, следовательно, могут отличаться по длине и граничным областям с учетом смежного каркасного участка. См., например, Kabat, Chothia и/или MacCallum et al., (Kabat et al., loc. cit.; Chothia et al., J. Mol. Biol, 1987, 196: 901 и MacCallum et al, J. Mol. Biol, 1996, 262: 732). Тем не менее, нумерация в соответствии с так называемой системой Kabat является предпочтительной.

**[0028]** Предпочтительные вариабельные участки антитела согласно настоящему изобретению приведены под SEQ ID NO. 1, 2, 3 и 4.

**[0029]** Термин "каркасный участок" относится к известным из уровня техники частям вариабельного участка антитела, которые присутствуют между более дивергентными (т.е. гипервариабельными) CDR. Такие каркасные участки, как правило, называются каркасными частями с 1 по 4 (FR1, FR2, FR3 и FR4) и обеспечивают остов для представления шести CDR (три из тяжелой цепи и три из легкой цепи) в трехмерном пространстве для образования антиген-связывающей поверхности.

**[0030]** Антитела (в том числе их фрагменты и производные) согласно настоящему изобретению предпочтительно или преимущественно повышают фосфорилирование ITIM в Fc $\gamma$ RIIB клеток Daudi приблизительно в 4 раза или более, как например, приблизительно в 4 раза или более, приблизительно в 5 раз или более, приблизительно в 6 раз или более, приблизительно в 7 раз или более, приблизительно в 8 раз или более, приблизительно в 9 раз или более или приблизительно в 10 раз (т.е. даже почти в 10 раз), по сравнению с клетками Daudi, не обработанными указанным антителом. Для такого сравнения оба антитела согласно настоящему изобретению предпочтительно применяют в

количество в диапазоне от 5 мкг/мл до 50 мкг/мл, как например, 10, 15, 20 или 25 мкг/мл.

Из результатов, приведенных на фигурах 6, 7 и 8, очевидно, что любое из химерного антитела 8A6 (ch8A6) (содержащего крысиные вариабельные участки и человеческий константный участок) или гуманизированного антитела 8A6 (hu8A6) значительно повышает фосфорилирование ITIM по сравнению с антителом GB3 из уровня техники. Принимая во внимание, что CDR у химерного и гуманизированного антител 8A6 являются практически идентичными, тогда как их каркасные участки (FR) отличаются, и что активность обоих антител в отношении повышения фосфорилирования ITIM в Fc $\gamma$ RIIB является практически одинаковой (см. фигуру 8), разумно сделать вывод, что CDR являются причиной преимущественного свойства антител согласно настоящему изобретению, заключающегося в значительном повышении фосфорилирования ITIM, например, по сравнению с антителом GB3.

Специалист в данной области техники легко поймет положение для прививки CDR, которые описаны в данном документе для антител согласно настоящему изобретению, в соответствующую каркасную часть или, наоборот, для прививки каркасных участков в антитело, имеющее CDR антитела согласно настоящему изобретению, так, чтобы полученное в результате этого антитело обладало преимущественными свойствами, в частности, свойством повышения фосфорилирования ITIM в CD32B, как описано в данном документе.

**[0031]** Как упоминалось, антитела согласно настоящему изобретению предпочтительно или преимущественно обладают свойством к повышению фосфорилирования ITIM в Fc $\gamma$ RIIB (CD32B) клеток Daudi, например, по сравнению с антителом GB3 из уровня техники, описанным в документе WO 2005/051999, которое характеризуется наличием вариабельного участка тяжелой цепи, приведенной под SEQ ID NO: 7 в заявке WO 2005/051999 (см. SEQ ID NO. 26), и вариабельного участка легкой цепи, приведенной под SEQ ID NO: 5 в заявке WO 2005/051999 (см. SEQ ID NO. 27).

Повышение фосфорилирования ITIM в Fc $\gamma$ RIIB (CD32B) клеток Daudi, подвергшихся влиянию антитела, охватываемого настоящим изобретением, предпочтительно составляет приблизительно в 4 раза или более, приблизительно в 5 раз или более, приблизительно в 6 раз или более, приблизительно в 7 раз или более, приблизительно в 8 раз или более, приблизительно в 9 раз или более или приблизительно в 10 раз (т.е. даже почти в 10 раз) по сравнению с клетками Daudi, не обработанными указанным антителом.

Фосфорилирование ITIM в CD32B (Fc-гамма-рецептор IIb) клеток Daudi предпочтительно определяют следующим образом:

3x10<sup>5</sup> клеток Daudi, суспендированных в среде RPMI 1640, дополненной 1% FBS (фетальная бычья сыворотка), либо оставляют необработанными (контроль), либо инкубируют в течение 25 минут при 37°C, 5% CO<sub>2</sub> со смесью антител, содержащей антитело к IgM (мышиное антитело к иммуноглобулину человека) и антитело к мышенному IgG (кроличье), где смесь антител содержит 2 мкг/мл  $\alpha$ -hIgM (mAB, клон UHB) и 20 мкг/мл  $\alpha$ -mIgG. Затем клетки обрабатывают 20 минут при 37°C, 5% CO<sub>2</sub> либо антителом, охватываемым настоящим изобретением, либо антителом, представляющим интерес, которое определено в данном документе ниже, таким как антитело GB3 из заявки WO 2005/051999, соответственно, при этом оба антитела предпочтительно применяют в равной концентрации и необязательно с буфером в качестве контроля (без антитела). Клетки собирают после инкубации при 4°C, лизируют и подвергают анализу с помощью Вестерн-блоттинга, при помощи которого фосфорилирование выявляют с помощью антитела к белку с фосфотирозиновым остатком (антитело к CD32B, содержащему фосфорилированный Y292). При Вестерн-блоттинге необязательно проводят зондирование с использованием антитела, выявляющего, например,  $\beta$ -актин, который служит в качестве загрузочного контроля для анализа с помощью Вестерн-блоттинга. В качестве альтернативы в отношении клеток Daudi можно применять PBMC (мононуклеарные клетки периферической крови) или клетки Raji. Соответственно, во всех вариантах осуществления, в

которых применяют клетки Daudi при определении фосфорилирования ITIM, клетки Daudi можно заменить клетками Raji или РВМС.

**[0032]** Антитело к белку с фосфотирозиновым остатком предпочтительно является связанным с группой, генерирующей сигнал. Группа, генерирующая сигнал, относится к композиции, выявляемой с помощью спектроскопических, фотохимических, биохимических, иммунохимических или химических средств. Например, пригодные метки включают радиоактивные метки, такие как  $^{32}\text{P}$ ,  $^{35}\text{S}$  или  $^{125}\text{I}$ ; флуоресцентные красители (например, Су-3, Су-5); хромофоры, электроноплотные реактивы; ферменты, которые генерируют выявляемый сигнал (например, которые зачастую применяются в ELISA (твердофазный ИФА)); или спиновые метки. Метка или выявляемый фрагмент имеет или генерирует измеримый сигнал, такой как радиоактивный, хромогенный или флуоресцентный сигнал, который можно применять для количественного определения количества связанного выявляемого фрагмента в образце.

Группа, генерирующая сигнал, может быть ковалентно или нековалентно связана с антителом к белку с фосфотирозиновым остатком. Сигнал можно определять посредством сигнала, обеспечиваемого генерирующей сигнал группой в антителе к белку с фосфотирозиновым остатком. Сигнал может представлять собой любой сигнал, который подлежит выявлению, например, с помощью спектроскопических, фотохимических, биохимических, иммунохимических или химических средств.

**[0033]** Повышение фосфорилирования ITIM определяют путем сравнения (i) сигнала, который генерируется группой, генерирующей сигнал, в антителе к белку с фосфотирозиновым остатком, связывающемся с мотивом ITIM в CD32B клеток, которые являлись необработанными (“эталонное значение”), с (ii) сигналом, который генерируется группой, генерирующей сигнал, в антителе к белку с фосфотирозиновым остатком, связывающемся с мотивом ITIM в CD32B клеток, которые обрабатывали антителом, охватываемым настоящим изобретением, при этом, если сигнал (ii) является большим, чем сигнал (i), на

повышение фосфорилирования ITIM в CD32B повлияло антитело, охватываемое настоящим изобретением. Для такого сравнения антитело согласно настоящему изобретению предпочтительно применяют в количестве в диапазоне от 5 мкг/мл до 50 мкг/мл, как например, 10, 15, 20 или 25 мкг/мл. Например, при сравнении антитела GB3 из уровня техники или любого другого антитела, связывающегося с CD32B (в совокупности называемые “антителом, представляющим интерес”), предпочтительно такого, которое связывается с эпитопом на CD32B, как описано в данном документе, и/или такого, которое является неблокирующим, как описано в данном документе, с антителом, охватываемым настоящим изобретением, с целью определения способности антитела, представляющего интерес, и антитела, охватываемого настоящим изобретением, в отношении того, во сколько раз каждое антитело может повышать фосфорилирование ITIM в CD32B, фосфорилирование ITIM определяют, как описано выше для антитела, представляющего интерес, и антитела, охватываемого настоящим изобретением. А именно, получают значение для сравнения антитела, представляющего интерес, с необработанными клетками и значение для сравнения антитела, охватываемого настоящим изобретением, с необработанными клетками. Эти значения можно сравнить друг с другом для того, чтобы определить, обладает ли антитело, охватываемое настоящим изобретением, способностью к повышению фосфорилирования ITIM в большей степени, как, например, в 4-10 раз (в том числе 4, 5, 6, 7, 8, 9, 10), чем антитело, представляющее интерес. Для такого сравнения антитело, представляющее интерес, и антитело согласно настоящему изобретению предпочтительно применяют в количестве в диапазоне от 5 мкг/мл до 50 мкг/мл, как например, 10, 15, 20 или 25 мкг/мл.

**[0034]** Термин “Fc-гамма-рецептор ПВ” используется в данном документе взаимозаменямо с терминами “FcγRIIB”, или “Fсгамма-рецептор ПВ”, или “Fс-рецептор ПВ”, или “FcγRIIB” и предусматривает как мембранный FcγRIIB, так и растворимый (т.е. внеклеточную часть Fcγ ПВ-рецептора) FcγRIIB. Указанный термин также включает варианты FcγRIIB, такие как FcγRIIB1 и FcγRIIB2, которые отличаются друг от друга вставкой последовательности 19 аминокислот в цитоплазматическом домене FcγRIIB1. Другой вариант, охватываемый

указанным термином, представляет собой Fc $\gamma$ RIIB3, который является идентичным Fc $\gamma$ RIIB2, но о котором отсутствует информация в отношении предполагаемого сайта расщепления сигнальной пептидазой.

Иногда в данном документе Fc $\gamma$ RIIB также называют „CD32B“. Таким образом, этот термин, а также другие термины, используемые для обозначения Fc-гамма-рецептора IIБ, которые описаны выше, можно использовать взаимозаменяя с термином “CD32B”. Fc-гамма-рецептор IIБ относится к суперсемейству белков-иммуноглобулинов и обнаруживается на многих линиях гемопоэтических клеток. Как указывает его название, Fc-рецептор IIБ распознает Fc- (фрагмент, способный к кристаллизации) часть антител и связывается с ней, т.е. с фрагментом, который соответствует двум C-концевым доменам обеих тяжелых цепей антитела и, как правило, взаимодействует с эффекторными молекулами и клетками. Предпочтительный Fc $\gamma$ RIIB приведен под SEQ ID NO. 5. Предпочтительный растворимый Fc $\gamma$ RIIB приведен под SEQ ID NO. 12.

**[0035]** “Растворимый Fc $\gamma$ RIIB” также называется “sFc $\gamma$ RIIB”. Используемый в данном документе термин “растворимый Fc $\gamma$ -рецептор IIБ” и аналогичные термины относятся ко внеклеточной части Fc $\gamma$ -рецептора IIБ. Такая часть может быть растворена в жидкости. В целом, растворимые формы любого из класса, изоформы или аллеля Fc $\gamma$ R можно идентифицировать по предшествующей “s”, например, sCD32 или sFc $\gamma$ RII относится к растворимому Fc-гамма-рецептору RIІ. Как правило, в отличие от мембранныго (т.е. мембраносвязанного) Fc $\gamma$ R растворимый Fc $\gamma$ R не содержит трансмембранный участок или внутрицитоплазматический хвост.

**[0036]** Предпочтительно Fc $\gamma$ RIIB согласно настоящему изобретению имеет человеческое происхождение или представляет собой человеческий Fc $\gamma$ RIIB. Термин “человеческое происхождение” следует истолковывать в самом широком смысле. В целом, оно означает, что Fc $\gamma$ R (или его участок или фрагмент) имеет сходство с человеческим Fc $\gamma$ R (т.е. с белком, обнаруживаемом

в человеческом организме) или является подобным ему по аминокислотной последовательности и/или структуре.

**[0037]** В качестве альтернативы, Fc $\gamma$ RIIB “человеческого происхождения” может представлять собой рекомбинантный Fc $\gamma$ RIIB, полученный путем экспрессии рекомбинантной нуклеиновой кислоты в клетке-хозяине, например, как описано у Sondermann and Jacob (1999), Bioll. Chem. 380(6), 717-721. Вкратце, представляющий интерес ген получают от организма и встраивают в вектор, например, плазмиду или вирус, который далее используют для переноса гена в клетку-хозяина, в которой экспрессируется рекомбинантный ген и продуцируется рекомбинантный белковый продукт. Специалист в данной области без труда установит, какую клетку-хозяина выбрать для того, чтобы получить Fc $\gamma$ RIIB, который, например, является подходящим для получения фармацевтической композиции. Например, в некоторых вариантах осуществления может быть желателен негликозилированный Fc $\gamma$ RIIB. Далее специалист в данной области техники может выбрать прокариотическую клетку-хозяина для экспрессии Fc $\gamma$ RIIB, лишенную ферментного аппарата, необходимого для гликозилирования белка. В одном варианте осуществления Fc $\gamma$ RIIB может экспрессироваться в прокариотах, а затем его можно подвергнуть очистке и рефолдингу в соответствии с описанием заявки WO 00/32767.

**[0038]** В другом варианте осуществления Fc $\gamma$ RIIB с высокой степенью очистки можно легко и недорого получать в эукариотических системах экспрессии. Пригодные системы включают эукариотов со специализированным аппаратом для продуцирования внеклеточных белков, например, В-клетки. Другие возможные эукариотические системы экспрессии включают без ограничения клетки СНО или НЕК. Таким образом, указанный растворимый Fc $\gamma$ RIIB представляет собой рекомбинантный, растворимый и гликозилированный Fc $\gamma$ RIIB.

**[0039]** Fc $\gamma$ RIIB, как указано в данном документе, дополнительно охватывает Fc $\gamma$ RIIB, который был модифицирован или изменен в отношении

аминокислотной последовательности по сравнению с Fc $\gamma$ R дикого типа и включает, например, дополнительные сайты гликозилирования или подобное. Тем не менее, предусматриваются также негликозилированные формы Fc $\gamma$ RIIB, и они являются предпочтительным вариантом осуществления Fc $\gamma$ RIIB.

**[0040]** Что касается вариабельного участка тяжелой цепи антитела согласно настоящему изобретению, предпочтительно, чтобы вариабельный участок тяжелой цепи антитела согласно настоящему изобретению содержал аминокислотную последовательность, приведенную под SEQ ID NO. 3, по меньшей мере с одной из мутаций, выбранных из группы, включающей замену аминокислоты Q в положении 1 на E, замену аминокислоты V в положении 11 на L, замену аминокислоты G в положении 42 на K, замену аминокислоты S в положении 50 на V, замену аминокислоты Y в положении 53 на S, замену аминокислоты K в положении 58 на T, замену аминокислоты G в положении 61 на A, замену аминокислоты S в положении 75 на T, замену аминокислоты K в положении 76 на R, замену аминокислоты N в положении 77 на S и замену аминокислоты T в положении 78 на N. Такое антитело предпочтительно характеризуется как содержащее константный участок тяжелой цепи с аминокислотной последовательностью, приведенной под SEQ ID NO. 6, и/или константный участок легкой цепи с аминокислотной последовательностью, приведенной под SEQ ID NO. 7.

**[0041]** Антитело согласно настоящему изобретению предпочтительно характеризуется как содержащее константный участок тяжелой цепи с аминокислотной последовательностью, приведенной под SEQ ID NO. 6, и/или константный участок легкой цепи с аминокислотной последовательностью, приведенной под SEQ ID NO. 7.

**[0042]** В предпочтительном антителе согласно настоящему изобретению константный участок тяжелой цепи содержит остаток аланина в положении 297 (N297A) в соответствии с нумерацией аминокислот в белке EU, которая описана Edelman *et al.* 1969 (соответствует нумерации в последовательности, которая

представлена SEQ ID NO.6, показанной на фигуре 2). Антитела с тяжелой цепью, содержащей остаток аланина (Ala, A) в положении 297 (N297A), обозначаются в данном документе индексом “N297A”, тогда как антитела, имеющие остаток аспарагина (Asn, N) в указанном положении, представляют собой “дикий тип” и, следовательно, обозначаются в данном документе индексом “(wt)”. Как можно увидеть на фигуре 2, вариабельный участок тяжелой цепи гуманизированного антитела 8A6 дикого типа оканчивается аминокислотным остатком “S” в положении 113 в соответствии с нумерацией аминокислот в белке EU. Константный участок указанного антитела начинается в положении 118. Получаемый в результате очевидный пробел из 4 аминокислотных остатков вызван переключением на систему нумерации аминокислот в белке EU для константного участка и не означает, что пропущены какие бы то ни было аминокислотные остатки.

Антитела согласно настоящему изобретению, имеющие остаток аланина в положении 297 в аминокислотной последовательности, представленной SEQ ID NO.6, действительно характеризуются пониженной или отсутствующей антителозависимой клеточной цитотоксичностью вследствие пониженного или отсутствующего связывания Fc-части антитела с Fc-рецепторами. Аминокислотная последовательность такого константного участка с N297A приведена под SEQ ID NO. 28. Соответственно, антитела согласно настоящему изобретению могут содержать в качестве константного участка аминокислотную последовательность, приведенную под SEQ ID NO. 28. У таких антител отсутствует гликозилирование в положении 297 в соответствии с нумерацией аминокислот в белке EU. Таким образом, настоящим изобретением охватываются антитела, у которых отсутствует гликозилирование в положении 297 в соответствии с нумерацией аминокислот в белке EU в константном участке тяжелой цепи, а также охватываются антитела, которые гликозилированы в положении 297 в соответствии с нумерацией аминокислот в белке EU в константном участке тяжелой цепи.

**[0043]** В предпочтительном варианте осуществления настоящего изобретения константный домен (Fc-домен) антитела согласно настоящему изобретению имеет аллотип G1m17, содержащий аминокислоты K (Lys) в положении 214, E (Glu) в положении 356, M (Met) в положении 358 и A (Ala) в положении 431 при отсутствии C-концевого K (Lys) (Beck et al., 2010).

**[0044]** Используемый в данном документе термин “аллотип” относится к человеческому аллотипу антител согласно настоящему изобретению. Аллотипы представляют собой аллельные/генетические варианты в последовательностях константных участков конкретных изотипов. Аллотипы наследуются аллельно. Различные члены вида, таким образом, будут отличаться друг от друга в отношении того, какие конкретные аллели данного изотипа они унаследовали от своих родителей. Km1 и Km2 представляют собой аллотипы человеческих каппа-цепей; G1m(4) и G1m(17) представляют собой аллотипы человеческих гамма-1-цепей.

**[0045]** Что касается вариабельного участка легкой цепи антитела согласно настоящему изобретению, предпочтительно, чтобы вариабельный участок легкой цепи антитела согласно настоящему изобретению содержал аминокислотную последовательность, приведенную под SEQ ID NO. 4, по меньшей мере с одной из мутаций, выбранных из группы, включающей замену аминокислоты Q в положении 1 на N, замену аминокислоты S в положении 28 на N, замену аминокислоты S в положении 31 на T, замену аминокислоты V в положении 33 на L, замену аминокислоты D в положении 34 на A, замену аминокислоты Y в положении 49 на F, замену аминокислоты T в положении 53 на N, замену аминокислоты Y в положении 55 на A, замену аминокислоты L в положении 89 на Q и замену аминокислоты N в положении 93 на Y. Такое антитело предпочтительно характеризуется как содержащее константный участок тяжелой цепи с аминокислотной последовательностью, приведенной под SEQ ID NO. 6, и/или константный участок легкой цепи с аминокислотной последовательностью, приведенной под SEQ ID NO. 7.

**[0046]** В еще одном варианте осуществления настоящего изобретения константный домен легкой цепи относится к аллотипу Km3, содержащему аминокислоты А (Ala) в положении 153 и В (Val) в положении 191.

**[0047]** Антило согласно настоящему изобретению предпочтительно содержит вариабельный участок тяжелой цепи, приведенный под SEQ ID NO. 1 или 3, и/или вариабельный участок легкой цепи, приведенный под SEQ ID NO. 2 или 4. Соответственно, антило согласно настоящему изобретению предпочтительно содержит вариабельный участок тяжелой цепи, приведенный под SEQ ID NO. 1, и вариабельный участок легкой цепи, приведенный под SEQ ID NO. 2, или оно содержит вариабельный участок тяжелой цепи, приведенный под SEQ ID NO. 3, и вариабельный участок легкой цепи, приведенный под SEQ ID NO. 4.

**[0048]** Антило согласно настоящему изобретению предпочтительно содержит вариабельный участок тяжелой цепи, приведенный под SEQ ID NO. 1, вариабельный участок легкой цепи, приведенный под SEQ ID NO. 2, константный участок тяжелой цепи с аминокислотной последовательностью, приведенной под SEQ ID NO. 6, и константный участок легкой цепи с аминокислотной последовательностью, приведенной под SEQ ID NO. 7.

**[0049]** В качестве альтернативы, антило согласно настоящему изобретению предпочтительно содержит вариабельный участок тяжелой цепи, приведенный под SEQ ID NO. 3, вариабельный участок легкой цепи, приведенный под SEQ ID NO. 4, константный участок тяжелой цепи с аминокислотной последовательностью, приведенной под SEQ ID NO. 6, и константный участок легкой цепи с аминокислотной последовательностью, приведенной под SEQ ID NO. 7.

**[0050]** Антило согласно настоящему изобретению предпочтительно специфично связывается с эпитопом в пределах аминокислот № 20-40 в человеческом FcγRIIB в соответствии с SEQ ID NO. 5.

Используемый в данном документе термин "эпитоп" относится к части полипептида или белка, которая придает иммуногенную активность у животного и с которой антитело специфично связывается.

Более предпочтительно антитело специфично связывается с эпитопом, содержащим мотив GTHSPES под SEQ ID NO. 5. Было показано, что этот аминокислотный мотив является очень специфичным эпитопом Fc $\gamma$ RIIB. Антитела, которые связываются специфично с этим эпитопом, не связываются с человеческим Fc $\gamma$ RIIA. Связывание антитела согласно настоящему изобретению с этим эпитопом через свой(свои) вариабельный участок(вариабальные участки) предпочтительно не препятствует связыванию Fc-частей антител с рецептором и не блокирует нормальное физиологическое функционирование рецептора.

**[0051]** Предпочтительно антитело согласно настоящему изобретению связывается *in vitro* с человеческим Fc $\gamma$ RIIb с аффинностью, характеризующейся константой скорости диссоциации, составляющей по меньшей мере  $4,9 \times 10^{-4} \text{ c}^{-1}$ . Константу скорости диссоциации ( $k_{\text{off}}$ ) можно измерить с помощью экспериментов с поверхностным плазмонным резонансом. В особенности, связывание антитела с sFc $\gamma$ RIIB можно проанализировать с помощью поверхностного плазмонного резонанса с использованием биосенсора BIACore T200 (GE Healthcare / Biacore).

**[0052]** Используемый в данном документе термин "аффинность" относится к силе связывания между вариабельными участками одной тяжелой и одной легкой цепей антитела или его фрагмента или производного и их антигеном (например, Fc $\gamma$ RIIB-рецептором) и измеряется *in vitro*. Аффинность определяет силу взаимодействия между эпитопом и антигена связывающим сайтом антитела. Аффинность можно рассчитать с использованием следующей формулы:

$$KA = [AB-AG]/[AB]*[AG] = k_{\text{on}}/k_{\text{off}},$$

где

KA = константа аффинности,

[AB] = молярная концентрация незанятых сайтов связывания на антителе,

[AG] = молярная концентрация незанятых сайтов связывания на антигене,

[AB-AG] = молярная концентрация комплекса антитело-антисыворотка.

**[0053]** Используемый в данном документе термин “авидность” относится к измерению общей силы связывания в комплексе антитело-антисыворотка, которая фактически зависит от параметров (1) аффинности антитела в отношении эпигенетика, (2) валентности антитела и антигена и (3) структурного расположения взаимодействующих частей.

**[0054]** Настоящее изобретение также предусматривает последовательности нуклеиновых кислот, которые кодируют антитело, описанное в данном документе. Используемые в данном документе термины “нуклеиновые кислоты” или “нуклеотидные последовательности” относятся к молекулам ДНК (например, кДНК или геномной ДНК), РНК (мРНК), их комбинациям или гибридным молекулам, состоящим из ДНК и РНК. Нуклеиновые кислоты могут быть дву- или однонитевыми и могут содержать одновременно дву- и однонитевые фрагменты. Наиболее предпочтительными являются двунитевые молекулы ДНК.

В соответствии с настоящим изобретением последовательность нуклеиновой кислоты, которая кодирует антитело согласно настоящему изобретению, содержит нуклеотиды, кодирующие по меньшей мере те части антитела, которые придают свойства специфического связывания антитела согласно настоящему изобретению.

Предпочтительно последовательность нуклеиновой кислоты согласно настоящему изобретению кодирует вариабельные участки, предпочтительно по меньшей мере CDR, которые описаны в данном документе.

Предпочтительные примеры последовательностей нуклеиновой кислоты согласно настоящему изобретению представлены SEQ ID NO. 8–11. Специалист

в данной области техники будет осведомлен, что эти нуклеотидные последовательности могут варьировать в зависимости от используемых способов экспрессии и применяемых для этого систем.

**[0055]** Кроме того, настоящим изобретением предусматривается вектор нукleinовой кислоты, содержащий по меньшей мере одну из последовательностей нукleinовой кислоты, описанных в данном документе, которые кодируют антитело согласно настоящему изобретению. Вектор предпочтительно содержит промотор, под контроль которого помещены вышеуказанные последовательности нукleinовой кислоты. Вектор может представлять собой прокариотический или эукариотический вектор экспрессии, где рекомбинантная нукleinовая кислота экспрессируется либо сама, либо в слиянии с другими пептидами или белками.

**[0056]** Настоящим изобретением также предусматривается клетка-хозяин, которая трансфицирована вышеупомянутым вектором. Клетка-хозяин может представлять собой любую клетку, прокариотическую клетку или эукариотическую клетку, и ее можно применять для получения по меньшей мере частей антитела или его фрагмента или производного в соответствии с настоящим изобретением.

**[0057]** Настоящим изобретением также предусматривается способ получения антитела согласно настоящему изобретению, включающий культивирование клетки-хозяина, которая описана в данном документе, в условиях, которые обеспечивают возможность экспрессии последовательности нукleinовой кислоты, содержащейся в векторе нукleinовой кислоты согласно настоящему изобретению, и извлечение полученного таким образом антитела.

**[0058]** Антитело или его фрагмент или производное в соответствии с настоящим изобретением преимущественно можно применять в фармацевтической композиции. Такую фармацевтическую композицию можно применять для лечения или профилактики заболеваний или нарушений, предпочтительно аутоиммунных заболеваний.

Fc $\gamma$ RIIb-специфичные антитела согласно настоящему изобретению ингибируют иммунный ответ в В-клетках, дендритных клетках и активированных гранулоцитах (например, макрофагах), что приводит к пониженной продукции иммуностимулирующих медиаторов и к снижению продукции антител, а также представления антигена (например, на дендритных клетках и макрофагах, приводя к снижению рекрутинга Т-клеток). В своей совокупности ингибируется петля обратной связи продукции антитела и повторной стимуляции иммунной системы.

Важно, что связывание антитела к Fc $\gamma$ RII согласно настоящему изобретению с рецептором через его вариабельные участки не препятствует связыванию Fc-фрагмента IC или антител с рецептором, и, в отличие от известных блокирующих антител, сохраняется нормальная функция Fc-рецептора.

**[0059]** Таким образом, в еще одном аспекте настоящее изобретение относится к фармацевтической композиции, содержащей в качестве активного ингредиента антитело или его фрагмент или производное согласно настоящему изобретению. Указанная фармацевтическая композиция может содержать по меньшей мере один фармацевтически приемлемый носитель, или вспомогательное вещество, или наполнитель.

Антитела могут обеспечиваться в фармацевтически приемлемых композициях, которые известны из уровня техники или приведены в общепринятых фармакопеях для применения у животных и, более конкретно, у людей.

**[0060]** При необходимости композиция также может содержать незначительные количества увлажняющих или эмульгирующих средств, или средств, придающих буферные свойства с определенным pH. Данные композиции могут быть в форме растворов, суспензий, эмульсии, таблеток, пилюль, капсул, порошков, составов с замедленным высвобождением и т.п.

Композиции согласно настоящему изобретению можно составить в нейтральной форме или в форме соли.

Фармацевтически приемлемые соли включают без ограничения те, которые образованы анионами, как, например, полученными из хлористоводородной, фосфорной, уксусной, щавелевой, винной кислот и т.д., и те, которые образованы катионами, как например, полученными из гидроксидов натрия, калия, аммония, кальция, железа, изопропиламина, триэтиламина, 2-этиламиноэтанола, гистидина, прокаина и т.д.

**[0061]** Вышеупомянутую фармацевтическую композицию можно применять для лечения, или профилактики, или диагностики заболевания или нарушения, предпочтительно аутоиммунных заболеваний и наиболее предпочтительно аутоиммунных заболеваний, характеризующихся продукцией аутоиммунных антител.

**[0062]** Значения величины дозы и частоты введения охватываются терминами "терапевтически эффективный" и "профилактически эффективный". Кроме того, доза и частота введения, как правило, будут варьировать в соответствии с факторами, специфическими для каждого пациента в зависимости от конкретных вводимых терапевтических или профилактических средств, типа заболевания, пути введения, а также возраста, массы тела, реакции и анамнеза пациента. Подходящие схемы могут быть выбраны специалистом в данной области. Используемый в данном документе термин "терапевтически эффективное количество" относится к количеству терапевтически активного компонента или средства, которое является достаточным для лечения или уменьшения интенсивности заболевания или нарушения, для задержки проявления заболевания, или которое обеспечивает какое-либо терапевтическое преимущество в лечении или ведении заболевания.

Для антител, охватываемых настоящим изобретением, доза, вводимая пациенту, как правило, составляет от 0,0001 мг/кг до 100 мг/кг массы тела пациента. Предпочтительно вводимая доза составляет приблизительно 15 мг/кг. Хорошо известно, что человеческие антитела характеризуются более длительным временем полужизни в человеческом организме, чем антитела из других видов.

Таким образом, дозу и частоту введения антител согласно настоящему изобретению или их фрагментов или производных можно уменьшить по сравнению с обычно используемыми дозами антител из других видов.

**[0063]** Лечение субъекта терапевтически или профилактически эффективным количеством антител или их фрагментов или производных согласно настоящему изобретению может включать отдельный метод лечения или предпочтительно может включать ряд методов лечения. В предпочтительном варианте осуществления субъекта можно лечить антителами или их фрагментами или производными согласно настоящему изобретению с дозой в диапазоне приблизительно 0,1-30 мг/кг массы тела один раз в неделю в течение периода приблизительно 1-10 недель, предпочтительно 2-8 недель, более предпочтительно приблизительно 3-7 недель. Можно выбрать наиболее выгодную форму и способ применения для обеспечения наибольшей пользы для пациента, подлежащего лечению.

Способы введения антитела или его фрагмента или производного согласно настоящему изобретению включают без ограничения парентеральное введение (например, внутрикожное, внутримышечное, внутрибрюшинное, внутривенное и подкожное), эпидуральное и мукозальное (например, интраназальный и пероральный пути). В конкретном варианте осуществления антитела согласно настоящему изобретению вводят внутримышечно, внутривенно или подкожно. Композиции можно вводить любым удобным путем, например, посредством инфузии или болюсной инъекции, посредством абсорбции через эпителиальную или кожно-слизистую выстилки (например, слизистую ротовой полости, слизистую прямой кишки и кишечника и т.д.), и их можно вводить вместе с другими биологически активными средствами. Введение может быть системным или локальным. Кроме того, можно также использовать легочное введение, например, при применении ингалятора или небулайзера, и состав с образующим аэрозоль средством.

Используемые в данном документе термины "осуществление лечения" и "лечение" относятся к введению субъекту терапевтически эффективного количества фармацевтической композиции согласно настоящему изобретению. "Терапевтически эффективное количество" относится к количеству фармацевтической композиции или антитела, которое является достаточным для лечения или уменьшения интенсивности заболевания или нарушения, для задержки проявления заболевания или предоставления какого-либо терапевтического преимущества в лечении или ведении заболевания.

Используемый в данном документе термин "профилактика" относится к применению средства для предупреждения проявления заболевания или нарушения. "Профилактически эффективное количество" определяет количество активного компонента или фармацевтического средства, достаточное для предупреждения проявления или рецидива заболевания.

Используемые в данном документе термины "нарушение" и "заболевание" используют взаимозаменяемо по отношению к состоянию субъекта. В частности, термин "автоиммунное заболевание" используют взаимозаменяемо с термином "автоиммунное нарушение" по отношению к состоянию субъекта, характеризующегося повреждением клеток, тканей и/или органов, вызванным иммунной реакцией субъекта на его собственные клетки, ткани и/или органы.

**[0064]** Более того, антитела согласно настоящему изобретению можно применять в целях диагностики для выявления, диагностирования или мониторинга заболеваний или нарушений, в частности аутоиммунных заболеваний. Антитела или их фрагменты или производные согласно настоящему изобретению можно применять для анализа уровней Fc $\gamma$ RIIB в биологическом образце с помощью классических иммуногистологических способов, которые описаны в данном документе или известны специалисту в данной области (например, см. Jalkanen et al., 1985, J. Cell. Biol. 101: 976-985; Jalkanen et al., 1987, J. Cell. Biol. 105: 3087-3096). Другие основанные на антителах способы, пригодные для выявления экспрессии генов белков,

включают иммуноанализы, такие как твердофазный иммуноферментный анализ (ELISA) и радиоиммунный анализ (RIA).

Таким образом, настоящее изобретение также относится к диагностической композиции, содержащей антитело согласно настоящему изобретению.

Используемый в данном документе термин “диагностический” относится к любому применению антитела согласно настоящему изобретению для диагностики наличия связанного с Fc $\gamma$ RIIB аутоиммунного заболевания, например, для определения величины или степени поверхностной экспрессии эндогенного Fc $\gamma$ RIIB на клетках индивида или пациента. Он также относится к определению соотношения активирующих Fc $\gamma$ RII и ингибирующих Fc $\gamma$ RII, например, отношения экспрессируемых Fc $\gamma$ RIIA и Fc $\gamma$ RIIB.

**[0065]** В предпочтительном варианте осуществления настоящего изобретения описанная выше диагностическая композиция предназначена для выявления и диагностики любого заболевания или нарушения, в особенности аутоиммунных заболеваний, характеризующихся продукцией аутоиммунных антител. Иллюстративные аутоиммунные заболевания включают иммунную тромбоцитопению, системную красную волчанку, пернициозную анемию, болезнь Аддисона, диабет 1 типа, ревматоидный артрит, синдром Шегрена, дерматомиозит, рассеянный склероз, тяжелую псевдопаралитическую миастению, синдром Рейтера, болезнь Грейвса, обыкновенную и буллезную пузырчатку, аутоиммунный гепатит, неспецифический язвенный колит, болезнь холодовых агглютининов, аутоиммунную периферическую невропатию, но не ограничиваются ими.

**[0066]** В предпочтительном варианте осуществления антитела согласно настоящему изобретению применяют для диагностики аутоиммунного заболевания у человека. Например, антитела согласно настоящему изобретению можно применять для определения поверхностной экспрессии Fc $\gamma$ RIIB на клетках индивида, страдающего от аутоиммунного заболевания, предпочтительно экспрессию Fc $\gamma$ RIIB на В-клетках или плазматических клетках

выявляют с использованием антитела в FACS-анализе.. Для этого антитело можно модифицировать с помощью маркерного реактива, флуоресцентного маркера или любого другого маркера, о котором специалисту в данной области известно, как о поддающемся обнаружению с использованием стандартных процедур. Антитело согласно настоящему изобретению можно применять в качестве диагностического инструмента в сочетании с антителами, специфичными к человеческому Fc $\gamma$ RIIA, известными из уровня техники. Таким образом, можно определять экспрессию Fc $\gamma$ RIIB и Fc $\gamma$ RIIB на клетках индивида, страдающего от аутоиммунного заболевания или воспалительного заболевания, и можно рассчитать соотношение, которое является маркером болезненного состояния или развития болезни или используется в качестве маркера для диагностики заболевания.

**[0067]** Кроме того, настоящее изобретение предусматривает диагностический набор для выявления аутоиммунных заболеваний, содержащий антитело или его фрагмент или производное согласно настоящему изобретению и необязательно маркерные реактивы, реактивы-носители и/или подходящие и необходимые резервуары.

## ПОСЛЕДОВАТЕЛЬНОСТИ

SEQ ID NO. 1: аминокислотная последовательность вариабельного участка тяжелой цепи крысиного антитела 8A6.

SEQ ID NO. 2: аминокислотная последовательность вариабельного участка легкой цепи крысиного антитела 8A6.

SEQ ID NO. 3: аминокислотная последовательность вариабельного участка тяжелой цепи гуманизированного антитела hu8A6.

SEQ ID NO. 4: аминокислотная последовательность вариабельного участка легкой цепи гуманизированного антитела hu8A6.

SEQ ID NO. 5: аминокислотная последовательность человеческого Fc $\gamma$ RIIB.

SEQ ID NO. 6: аминокислотная последовательность константного участка тяжелой цепи гуманизированного антитела hu8A6\_wt.

SEQ ID NO. 7: аминокислотная последовательность константного участка легкой цепи гуманизированного антитела hu8A6\_wt.

SEQ ID NO. 8: последовательность нуклеиновой кислоты, кодирующая вариабельный участок тяжелой цепи гуманизированного антитела hu8A6.

SEQ ID NO. 9: последовательность нуклеиновой кислоты, кодирующая вариабельный участок легкой цепи гуманизированного антитела hu8A6.

SEQ ID NO. 10: последовательность нуклеиновой кислоты, кодирующая константный участок тяжелой цепи гуманизированного антитела hu8A6\_wt.

SEQ ID NO. 11: последовательность нуклеиновой кислоты, кодирующая константный участок легкой цепи гуманизированного антитела hu8A6\_wt.

SEQ ID NO. 12: аминокислотная последовательность человеческого растворимого Fc $\gamma$ RIIA (sFc $\gamma$ RIIA).

SEQ ID NO. 13: аминокислотная последовательность мутированного человеческого растворимого Fc $\gamma$ RIIA (sFc $\gamma$ RIIA mut).

SEQ ID NO. 14: аминокислотная последовательность CDR1 вариабельного участка тяжелой цепи крысиного антитела 8A6.

SEQ ID NO. 15: аминокислотная последовательность CDR2 вариабельного участка тяжелой цепи крысиного антитела 8A6.

SEQ ID NO. 16: аминокислотная последовательность CDR3 вариабельного участка тяжелой цепи крысиного антитела 8A6.

SEQ ID NO. 17: аминокислотная последовательность CDR1 вариабельного участка легкой цепи крысиного антитела 8A6.

SEQ ID NO. 18: аминокислотная последовательность CDR2 вариабельного участка легкой цепи крысиного антитела 8A6.

SEQ ID NO. 19: аминокислотная последовательность CDR3 вариабельного участка легкой цепи крысиного антитела 8A6.

SEQ ID NO. 20: аминокислотная последовательность CDR1 вариабельного участка тяжелой цепи гуманизированного антитела hu8A6.

SEQ ID NO. 21: аминокислотная последовательность CDR2 вариабельного участка тяжелой цепи гуманизированного антитела hu8A6.

SEQ ID NO. 22: аминокислотная последовательность CDR3 вариабельного участка тяжелой цепи гуманизированного антитела hu8A6.

SEQ ID NO. 23: аминокислотная последовательность CDR1 вариабельного участка легкой цепи гуманизированного антитела hu8A6.

SEQ ID NO. 24: аминокислотная последовательность CDR2 вариабельного участка легкой цепи гуманизированного антитела hu8A6.

SEQ ID NO. 25: аминокислотная последовательность CDR3 вариабельного участка легкой цепи гуманизированного антитела hu8A6.

SEQ ID NO. 26: аминокислотная последовательность вариабельного участка тяжелой цепи антитела GB3 (см. также SEQ ID NO. 7 в заявке WO 2005/051999)

SEQ ID NO. 27: аминокислотная последовательность вариабельного участка легкой цепи антитела GB3 (см. также SEQ ID NO. 5 в заявке WO 2005/051999).

SEQ ID NO. 28: аминокислотная последовательность константного участка тяжелой цепи, содержащего в положении 297 замену N на A (предполагается, что положение 1 в последовательности, которая приведена в перечне последовательностей, представляет собой положение 118).

SEQ ID NO. 29: аминокислотная последовательность CDR1 вариабельного участка тяжелой цепи, который содержит ключевые аминокислотные остатки из химерного и гуманизированного антитела 8A6.

SEQ ID NO. 30: аминокислотная последовательность CDR2 вариабельного участка тяжелой цепи, который содержит ключевые аминокислотные остатки из химерного и гуманизированного антитела 8A6.

SEQ ID NO. 31: аминокислотная последовательность CDR3 вариабельного участка тяжелой цепи, который содержит ключевые

аминокислотные остатки из химерного и гуманизированного антитела 8A6.

SEQ ID NO. 32: аминокислотная последовательность CDR1 вариабельного участка легкой цепи, который содержит ключевые аминокислотные остатки из химерного и гуманизированного антитела 8A6.

SEQ ID NO. 33: аминокислотная последовательность CDR2 вариабельного участка легкой цепи, который содержит ключевые аминокислотные остатки из химерного и гуманизированного антитела 8A6.

SEQ ID NO. 34: аминокислотная последовательность CDR3 вариабельного участка легкой цепи, который содержит ключевые аминокислотные остатки из химерного и гуманизированного антитела 8A6.

## КРАТКОЕ ОПИСАНИЕ ГРАФИЧЕСКИХ МАТЕРИАЛОВ

**Фигура 1.** Анализ с помощью поверхностного плазмонного резонанса гуманизированного 8A6 в соответствии с SEQ. ID. No. 3 и 4 либо в формате дикого типа, либо в формате N297A, ch8A6\_N297A (в соответствии с SEQ. ID. NO. 14 и 15) и chGB3\_N297A.

**Фигура 2.** Последовательности hu8A6\_wt и hu8A6\_N297A с изображением положения замены аминокислоты N на A в формате N297A.

**Фигура 3.** Неблокирующие характеристики ch8A6\_N297A. Клетки Raji инкубировали с заданным количеством агрегированного человеческого IgG и варьирующими количествами ch8A6\_N297A, chGB3\_N297A или блокирующими антителами 2B6 или R&D Ab. Антитела согласно настоящему изобретению являются неблокирующими.

**Фигура 4.** Связывание очищенного с использованием белка А антитела (hu8A6\_VL + hu8A6\_VH и ch8A6\_N297A) в концентрации от 15 мкг/мл до 0,005 мкг/мл с нативным Fc $\gamma$ RIIB, экспрессируемым на клетках Raji. Гуманизированные варианты 8A6 связываются с высокойavidностью с Fc $\gamma$ RIIB, экспрессируемым на клетках Raji.

**Фигура 5.** Связывание 15 мкг/мл антитела (hu8A6\_VH + hu8A6\_VL и ch8A6\_N297A) с нативным Fc $\gamma$ RIIA, экспрессируемым на клетках K562. Антитела согласно настоящему изобретению не связываются Fc $\gamma$ RIIA на K-562.

**Фигура 6а.** Фосфорилирование ITIM, повышаемое химерным 8A6 (ch8A6\_N297A) в РВМС от здорового донора. РВМС от здорового донора выделяли с использованием разделения с помощью фиколла, а затем оставляли необработанными или инкубировали в течение 25 минут со смесью антител, содержащей антитело к IgM (мышиное антитело к иммуноглобулину человека) и антитело к мышенному IgG (кроличье). После этого клетки обрабатывали 20

минут либо 5 мкг/мл ch8A6\_N297A, либо буфером в качестве контроля (без антитела). Клетки собирали после инкубации и лизировали в соответствии с протоколом. Лизаты подвергали WB-анализу.  $\beta$ -актин = загрузочный контроль.

**Фигура 6б.** Контрольный эксперимент по фосфорилированию ITIM. Клетки Daudi оставляли необработанными или обрабатывали в течение 25 минут антителом изотипического контроля, поликлональным антителом к человеческому IgM (поликлон. антитело к hIgM), моноклональным антителом к человеческому IgM (антитело к hIgM), антителом к hIgM + 5 мкг/мл ch8A6\_N297A, антителом кролика к мышенному IgG (-мышиный IgG), - мышним IgG+5 мкг/мл ch8A6\_N297A, смесью антитела к hIgM и -мышного IgG (смесь Ab) или смесью Ab + 5 мкг/мл ch8A6\_N297A).  $\beta$ -актин = загрузочный контроль.

**Фигура 6с.** Антитела согласно настоящему изобретению усиливают фосфорилирование ITIM в присутствии или в отсутствие перекрестного сшивания/совместного лигирования BCR и Fc-гамма RIIB в первичных PBMC.

**Фигура 7.** Сравнение ch8A6\_N297A с антителом из уровня техники (chGB3\_N297A). Человеческие клетки Daudi инкубировали в течение 25 минут со смесью антител, содержащей антитело к IgM (мышиное антитело к иммуноглобулину человека) и антитело к мышенному IgG (кроличье), или оставляли необработанными. После этого клетки обрабатывали 20 минут либо изменяющимися количествами chGB3\_N297A или ch8A6\_N297A, либо буфером в качестве контроля (без антитела). Клетки собирали после инкубации и лизировали в соответствии с протоколом. Лизаты подвергали WB-анализу.  $\beta$ -актин = загрузочный контроль.

**Фигура 8.** Сравнение эффекта гуманизированного варианта hu8A6\_N297A, ch8A6\_N297A и chGB3\_N297A в отношении фосфорилирования ITIM в первичных PBMC. После перекрестного сшивания BCR и Fc $\gamma$ RIIB с помощью смеси антител добавляли различные антитела в концентрации 5 мкг/мл и

проводили анализ с помощью Вестерн-блоттинга в отношении фосфорилирования ITIM.  $\beta$ -актин = загрузочный контроль.

**Фигура 9.** Совместная иммуноосаждение фосфорилированного SHIP-1 с ITIM Fc $\gamma$ RIIB. После стимуляции клеток Daudi смесью антител и любым из ch8A6\_N297A, блокирующего антитела 2B6 к Fc $\gamma$ RIIB или chGB3\_N297A (5 мкг/мл) Fc $\gamma$ RIIB осаждали из клеточных лизатов и проводили анализ с помощью Вестерн-блоттинга в отношении фосфатазы SHIP-1. Антитело к CD32 с использованием панспецифичного антитела к CD32 (AF1330) = загрузочный контроль.

**Фигура 10.** Сравнение гуманизированных вариантов 8A6 (hu8A6-VH10+VL2/VH10+VL6/ VH10+VL7/VH12+VL2/VH12+VL6/VH12+VL7) с ch8A6\_N297A. Клетки Daudi оставляли инкубироваться в течение 25 минут с буфером (необработанные) или со смесью (смесь антител), содержащей антитело к IgM (мышиное антитело к иммуноглобулину человека) и антитело к мышенному IgG (кроличье). Затем клетки обрабатывали 20 минут либо 0,25 мкг/мл ch8A6\_N297A, либо гуманизированными вариантами 8A6 (hu8A6-VH10+VL2/VH10+VL6/ VH10+VL7/VH12+VL2/VH12+VL6/VH12+VL7). Клетки собирали после инкубации и лизировали в соответствии с протоколом. Лизаты подвергали WB-анализу.  $\beta$ -актин = загрузочный контроль.

**Фигура 11.** Сравнение гуманизированных вариантов 8A6 (hu8A6-VH10+VL2/VH10+VL6/ VH10+VL7/VH12+VL2/VH12+VL6/VH12+VL7) с ch8A6\_N297A, блокирующим антителом к Fc $\gamma$ RIIB и chGB3\_N297A. Клетки Daudi оставляли инкубироваться в течение 25 минут с буфером (необработанные) или со смесью (смесь антител), содержащей антитело к IgM (мышиное антитело к иммуноглобулину человека) и антитело к мышенному IgG (кроличье). Затем клетки обрабатывали 20 минут любым из 0,25 мкг/мл ch8A6\_N297A, гуманизированных вариантов 8A6 (hu8A6-VH10+VL2/VH10+VL6/ VH10+VL7/VH12+VL2/VH12+VL6/VH12+VL7), блокирующего антитела 2B6 к Fc $\gamma$ RIIB или chGB3\_N297A. Клетки собирали

после инкубации, лизировали в соответствии с протоколом и проводили анализ с помощью Вестерн-блоттинга. Лизаты подвергали WB-анализу.  $\beta$ -актин = загрузочный контроль.

**Фигура 12.** Схема эксперимента для мышиной модели SLE-PBL. PBL (лейкоциты периферической крови) от пациентов-людей с SLE (системная красная волчанка) переносят в иммунодефицитных мышей. PBL-клетки пересаживаются и мышам впоследствии обрабатываются контролем (PBS) или антителом ch8A6\_N297A к Fc $\gamma$ R<sub>IIIB</sub> согласно настоящему изобретению. □

**Фигура 13.** Общий уровень человеческого IgG [мкг/мл] у мышей, которым пересадили PBL от доноров-людей, страдающих от SLE. Изображены мыши, обработанные контролем (#2, PBS) или ch8A6\_N297A (#3 и #4).

**Фигура 14.** Снижение уровня специфичных к заболеванию человеческих антител IgG к ДНК у обработанных ch8A6\_N297A мышей, начиная с 4 недели после переноса/пересадки SLE-PBL с использованием PBL от доноров-людей, страдающих от SLE. Изображены титры антител IgG к ДНК у двух различных мышей, #3 и #4 (обработанные ch8A6\_N297A), #2 демонстрирует контроль с PBS.

## ПРИМЕРЫ

### ПОЛУЧЕНИЕ МОНОКЛОНАЛЬНОГО АНТИТЕЛА 8A6

Клон 8А6 моноклонального антитела получали путем иммунизации крыс линии Лонг-Эванс рекомбинантным растворимым человеческим Fc $\gamma$ RllB-рецептором. Получали клеточные линии гибридом из крысиных клеток селезенки и подвергали скринингу в отношении антител, которые специфично связываются с человеческим Fc $\gamma$ RllB с большей аффинностью, чем с Fc $\gamma$ RllA. Во-вторых, антитела, производимые вышеупомянутыми гибридомами, подвергали скринингу в отношении неблокирующих характеристик, т.е. эти антитела все еще обеспечивали возможность связывания IgG или IC с мембранным Fc $\gamma$ RllB с использованием методик, известных из уровня техники.

50 мкг очищенного рекомбинантного растворимого человеческого Fc $\gamma$ RllB (sFc $\gamma$ RllB, SEQ ID NO. 5) вводили внутрибрюшинно (i.p.) и подкожно (s.c.) крысам LOU/C с использованием неполного адьюванта Фрейнда, дополненного 5 нмоль CpG 2006 (TIB MOLBIOL, Берлин, Германия). После шестинедельного интервала окончательную бустерную инъекцию 50 мкг sFc $\gamma$ RllB и CpG 2006 вводили i.p. и s.c. за три дня до слияния. Слияние линии клеток миеломы с крысиными иммунокомпетентными клетками селезенки осуществляли в соответствии со стандартными процедурами. Супернатанты гибридомы исследовали в твердофазном иммуноанализе с белком sFc $\gamma$ RllB или несоответствующим sFc $\gamma$ RllA (SEQ ID NO.

12), нанесенным в виде покрытия на планшеты для ELISA. MAbs из супернатанта тканевой культуры, связанные с белками, выявляли с использованием конъюгированных с HRP (пероксидаза хрена) mAb к изотипам крысиного IgG (антитело TIB173 к IgG2a, антитело TIB174 к IgG2b, антитело TIB170 к IgG1, все из ATCC (Американская коллекция типовых культур), антитело R-2c к IgG2c, полученное самостоятельно), таким образом избегая mAb класса IgM. MAbs 8A6

(крысиное IgG2a) распознавало Fc $\gamma$ RllB и не связывалось с Fc $\gamma$ RllA на основании антиген-специфичного анализа ELISA. Анализ с использованием FACS использовали для скрининга антител в отношении специфичного связывания нативного антигена). Кроме того, антитела подвергали скринингу в отношении неблокирующих характеристик, т.е. эти антитела все еще обеспечивали возможность связывания IgG или иммунных комплексов мембраносвязанным Fc $\gamma$ RllB.

Для получения достаточного количества антитела для характеристики химерных и гуманизированных конструкций клетки CHO-S FreeStyle<sup>TM</sup> подвергали временной трансфекции.

За день до трансфекции клетки высевали в количестве  $0,5 \times 10^6$  клеток/мл. Клетки центрифугировали и ресуспенсировали в среде с получением конечной концентрации клеток  $20 \times 10^6$  клеток/мл. Для каждой трансфекции 3 мл клеточной суспензии переносили в 6-луночный планшет. Плазмидную ДНК для трансфекции выделяли с использованием набора HiSpeed Plasmid Maxi Kit (Qiagen) в соответствии с инструкцией производителя и элюировали в не содержащей эндотоксин H<sub>2</sub>O.

Для каждой трансфекции 75 мкг плазмидной ДНК, кодирующей легкую цепь, и 75 мкг плазмидной ДНК, кодирующей тяжелую цепь, добавляли в клеточную суспензию и осторожно смешивали. После этого добавляли PEI (Polyplus) и осторожно смешивали. Клетки инкубировали в течение 3 часов при 37°C и 5% CO<sub>2</sub> при непрерывном встряхивании (100 об./мин.). В клеточную суспензию доливали среду до конечного объема 15 мл с достижением конечной концентрации клеток  $4 \times 10^6$  клеток/мл и переносили в колбу на 125 мл. Клетки инкубировали при 37°C и 5% CO<sub>2</sub> при непрерывном встряхивании (100 об./мин.) и после 6 дней супернатант собирали путем 2-кратного центрифугирования (4000 об./мин., 5 мин.). Супернатант фильтровали через фильтр с размером пор 0,2 мкм и определяли титр антитела (см. ниже).

Определение титра антитела проводили посредством двух разных способов HPLC (высокоэффективная жидкостная хроматография), обращенно-фазовой (RP) HPLC и HPLC с белком А. Анализ RP-HPLC проводили с использованием системы для HPLC серии Agilent 1200. Данные анализировали с использованием программного обеспечения “Chem Station for LC Systems” редакции B.04.02. Компонентами раствора являлись: изопропанол (HPLC Grade; Roth), ацетонитрил (градиентная чистота HPLC; Roth), H<sub>2</sub>O (профильтрованная через фильтр с размером пор 0,2 мкм) и тетрафторацетат (TFA) (для синтеза пептидов; Sigma). Растворитель А: H<sub>2</sub>O, 0,1% TFA; растворитель В: 60% изопропанола, 30% ацетонитрила, 9,9% H<sub>2</sub>O и 0,1% TFA. Использовали колонку Phenomenex Jupiter (#525166-6) с пористостью 300 Å и разделяющий материал с диаметром частиц 5 мкм. Связанное антитело элюировали с линейным градиентом от 30% до 43% растворителя В за 10 мин. Выявление происходило при  $\lambda = 210$  нм с использованием детектора для ультрафиолетовой/видимой области спектра.

Анализ HPLC с белком А проводили с использованием системы для HPLC серии Agilent 1200. Данные анализировали с использованием программного обеспечения “Chemstation” в версии редакции B.04.02. Использовали следующие растворители: растворитель А: 0,05 М Tris/HCl, 0,1 М глицин, 0,15 М NaCl, pH 8,0; растворитель В: 0,05 М Tris/HCl, 0,1 М глицин, 0,15 М NaCl, pH 3,0. Для анализа в 2x20 мм аналитическую предколонку Upchurch помещали 120 мкл перфузионной среды для хроматографии Applied Biosystems Poros® 20A (Life technologies). Связанное антитело элюировали 100% растворителя В. В случае, когда собирали очищенное антитело, фракции нейтрализовали 56 mM Tris с pH 8,0.

Экспрессируемые антитела очищали с использованием 1 мл колонки с белком А HiTrap™ rProtein A FF column (GE Healthcare) посредством жидкостной экспресс-хроматографии белков (Äkta Explorer). Подвижный буфер содержал 10 mM Tris-HCl с pH 8,0, 150 mM NaCl, элюирующий буфер состоял из 100 mM глицина, 150 mM NaCl, pH 2,7. Элюированные антитела нейтрализовали 60 mM

Tris-HCl с pH 8,0, концентрировали, стерилизовали фильтрованием и хранили при -80°C.

## СКРИНИНГ И ХАРАКТЕРИСТИКА АНТИТЕЛА 8A6

Скрининг супернатантов гибридом осуществляли с помощью методик, которые известны из уровня техники, например, анализа связывания с использованием ELISA, анализа Biacore или анализа связывания с использованием FACS. Для исследования специфичного связывания антигена химерным 8A6 или гуманизированными вариантами планшеты для ELISA (Nunc-Immuno Plate, F96 Maxisorp) покрывали 1 мкг/мл sFc $\gamma$ RllB, sFc $\gamma$ RllA (SEQ ID NO. 12) или sFc $\gamma$ RllAmut (SEQ ID NO. 13) в PBS (100 мкл/лунку) в течение ночи при 4°C. После 3 этапов отмывки в 0,01% Tween в PBS проводили блокирование 2% BSA в PBS (300 мкл/лунку) в течение 2 часов при комнатной температуре. После 3 этапов отмывки вносили серийные разведения очищенного антитела или супернананта (100 мкл/лунку) и инкубировали в течение 1 часа при комнатной температуре. Очищенные антитела разводили в PBS, 2% BSA. Супернатанты дополняли 10-кратным объемом PBS и 20% BSA с получением конечной концентрации 2% BSA в PBS. В качестве положительного контроля для Fc $\gamma$ RllA использовали козье антитело к Fc $\gamma$ RllA человека (R&D Systems, AF1875). □ После 3 этапов отмывки в 0,01% Tween в PBS соответствующее вторичное конъюгированное с HRP ослиное антитело к козьему иммуноглобулину (F(ab')<sub>2</sub>, Jackson-Immuno-Research) или конъюгированное с HRP козье антитело к иммуноглобулину человека (F(ab')<sub>2</sub>, Dianova) инкубировали в течение 1 часа при комнатной температуре (100 мкл/лунку). Лунки промывали 6 раз в 0,01% Tween в PBS. Добавляли субстрат (OPD, содержащий 0,03% H<sub>2</sub>O<sub>2</sub>) (100 мкл/лунку) и реакцию останавливали добавлением 4 М H<sub>2</sub>SO<sub>4</sub> (50 мкл/лунку). После этого измеряли оптическое поглощение на спектрометре при длине волны 492 нм.

Анализ специфичного связывания с нативным антигеном химерного 8A6 или гуманизированных вариантов проводили посредством связывания с клетками на клетках Raji (ATCC® CCL-86™) и клетках K-562 (ATCC® CCL-243™).

Клетки осаждали центрифугированием (400 g, 5 мин.) и отмывали в FACS-буфере (сбалансированный солевой раствор Хенкса, 1% FCS (фетальная телячья сыворотка), 0,01% NaN<sub>3</sub>). После дополнительного этапа центрифугирования клетки ресуспендировали в FACS-буфере с получением конечной концентрации клеток  $2 \times 10^6$  клеток/мл и 50 мкл клеточной суспензии добавляли аликвотами в 96-луночный планшет с U-образным дном. Готовили серийные разведения гуманизированных вариантов и ch8A6 в FACS-буфере.

Для подтверждения экспрессии FcγRllA на клетках K-562 мышное антитело к CD32 человека (Stem Cell Technologies Inc., клон VI.3) разводили в FACS-буфере. 50 мкл разведенных антител добавляли к клеткам и инкубировали в течение 30 мин. при 4°C. Клетки отмывали 2 раза в FACS-буфере. После этого 50 мкл вторичного конъюгированного с PE козьего антитела к IgG человека (F(ab')<sub>2</sub>, Dianova) или вторичного конъюгированного с PE козьего антитела к IgG мыши (F(ab')<sub>2</sub>, Dianova) разводили в FACS-буфере, добавляли к клеткам и инкубировали в течение 30 мин. при 4°C. После 2 этапов отмывки в FACS-буфере клетки ресуспендировали в 300 мкл FACS-буфера и измеряли на приборе BD FACSCanto™ II (программное обеспечение: BD FACSDiva™).

Для определения того, обеспечивают ли еще антитела к FcγRllB возможность связывания IgG или иммунных комплексов с мембранным связанным FcγRllB, проводили анализ с помощью FACS. Клетки осаждали центрифугированием (400 g, 5 мин.) и отмывали в FACS-буфере (сбалансированный солевой раствор Хенкса, 1% FCS (фетальная телячья сыворотка), 0,01% NaN<sub>3</sub>). После дополнительного этапа центрифугирования клетки ресуспендировали в FACS-буфере с получением конечной концентрации клеток  $2 \times 10^6$  клеток/мл. Готовили серийные разведения антител (ch8A6\_N297A, chGB3\_N297A, R&D Ab mab1875) в FACS-буфер. 25 мкл разведенных антител смешивали в 96-луночном планшете

с U-образным дном с 25 мкл меченного Alexa488 агрегированного бериглобина (2,5 мкл/лунку). Агрегированный человеческий IgG выделяли с помощью гель-хроматографии на Superdex-200 (16/60) из коммерчески доступного собранного IgG-продукта (бериглобина).

50 мкл клеточной суспензии добавляли к смеси антитело-бериглобин и инкубировали в течение 1 часа при 4°C. Клетки отмывали 2 раза в FACS-буфере. После этого 50 мкл вторичного конъюгированного с PE козьего антитела к IgG человека (F(ab')2, Dianova) или вторичного конъюгированного с PE антитела к крысиному иммуноглобулину разводили в FACS-буфере, добавляли к клеткам и инкубировали в течение 30 мин. при 4°C. После 2 этапов отмычки в FACS-буфере клетки ресуспенсировали в 300 мкл FACS-буфера и измеряли на приборе BD FACSCanto™ II (программное обеспечение: BD FACSDiva™) (фиг. 3).

#### Анализ связывания с помощью FACS

Анализ специфичного связывания с нативным антигеном химерного 8A6 или гуманизированных вариантов проводили посредством связывания с клетками на клетках Raji и K-562.

Клетки осаждали центрифугированием (400 g, 5 мин.) и отмывали в FACS-буфере (сбалансированный солевой раствор Хенкса, 1% FCS, 0,01% NaN3). После дополнительного этапа центрифугирования клетки ресуспенсировали в FACS-буфере с получением конечной концентрации клеток  $2 \times 10^6$  клеток/мл и 50 мкл клеточной суспензии добавляли аликвотами в 96-луночный планшет с U-образным дном. Готовили серийные разведения гуманизированных вариантов и ch8A6 в FACS-буфере.

Клетки Raji и K562 инкубировали с возрастающими концентрациями гуманизированных антител и химерным антителом в качестве контроля. Клетки Raji использовали для исследования связывания на FcγRIIB (фиг. 4), клетки K562 - для анализа неспецифичного связывания с FcγRIIA (фиг. 5). Связанные с клетками антитела выявляли с использованием конъюгированного с PE

вторичного антитела. Все гуманизированные варианты связывались с Fc $\gamma$ RIIB с аффинностью, сравнимой с ch8A6\_N297A, и все гуманизированные варианты при этом связывались с Fc $\gamma$ RIIB с большей авидностью, чем с Fc $\gamma$ RIIA.

Связывание антител с sFc $\gamma$ RllB и sFc $\gamma$ RllA анализировали с помощью поверхностного плазмонного резонанса с использованием биосенсора Biacore T200 (GE Healthcare / Biacore). Эксперименты проводили в LMU (Мюнхенский университет Людвига-Максимилиана), кафедра биологии и микробиологии, биоаналитическое обслуживающее подразделение. Анализируемые антитела улавливали на сенсорном чипе CM5 серии S с использованием набора для улавливания человеческих антител в соответствии с протоколом производителя. Варианты Hu8A6 или ch8A6 улавливали в концентрации 10 нМ в течение 1 мин. Аналит sFc $\gamma$ RllB вводили в различных концентрациях в течение 3 мин. Измерения осуществляли при 25°C и непрерывном потоке (10 мкл/мин.). Измерения осуществляли при 25°C и непрерывном потоке (10 мкл/мин.). Данные оценивали с использованием программного обеспечения для оценки Biacore T200 (версия 1.0), предполагая связывание 1:1.

## ХИМЕРИЗАЦИЯ КРЫСИНОГО АНТИТЕЛА 8A6

Химерное моноклональное антитело 8A6 к Fc $\gamma$ RIIB конструировали путем слияния VH-участка крысиного 8A6 с сигнальным пептидом и константного участка человеческого IgG1. Кроме того, дегликозилированный вариант тяжелой цепи создавали с использованием константного домена IgG1, содержащего мутацию N297A. Для конструирования гена легкой цепи 8A6 VL-участок крысиного 8A6 аналогичным образомсливали с сигнальной последовательностью и последовательностью для константного участка человеческой каппа-цепи. Синтез ДНК для тяжелой и легкой цепи осуществляли с использованием Geneart/Life Technologies с последующим субклонированием в вектор экспрессии у млекопитающих.

## АНАЛИЗЫ IN VITRO

*Клетки, реактивы и антитела*

Линии человеческих клеток лимфомы Беркитта Daudi и Ramos приобретали у DSMZ (ACC 78 и ACC 603) и поддерживали в RPMI 1640 (Gibco/Invitrogen), дополненной 10% FBS (Gibco/Invitrogen), MEM NEAA (Gibco/Invitrogen), 1 мМ пируватом натрия (Gibco/Invitrogen) и 2 мМ L-глутамином (Gibco/Invitrogen) при 37°C и 5% CO<sub>2</sub>. Первичные человеческие В-клетки очищали от гепаринизированной крови здоровых доноров с использованием градиентов плотности фиколла (Leucosep, Greiner Bio-One, Biocoll Separating Solution, Biochrom) и отрицательного выделения с использованием магнитного поля (Dynabeads Untouched Human B Cells, Invitrogen). Чистоту обогащенных В-клеток изучали с помощью FACS-анализа путем окрашивания APC-антителом к hCD19 (BD Pharmingen #555415), PerCP-Cy5.5-антителом к hCD3 (BD Biosciences #332771) и PE-антителом к hCD56 (BD Pharmingen #555515). Первичные В-клетки сразу использовали для экспериментов без дополнительного культивирования. Блокирующее антитело 2B6 к Fc $\gamma$ RIIB в соответствии с патентным документом EP1534335.

*Протокол стимуляции с использованием стимулирующей смеси растворимых антител*

Для одновременной стимуляции BCR и Fc $\gamma$ RIIB создавали систему антител с использованием смеси антител из 2 мкг/мл моноклонального мышиного антитела к hIgM (Southern Biotech #9022-01, клон UHB) и 20 мкг/мл моноклонального кроличьего антитела к mIgG(1,2a,3) (Epitomics #3020-1, клон M111-2), у которых Fc-часть перекрестно реагирует с человеческим Fc $\gamma$ RIIB-рецептором.. Контрольные эксперименты проводили с 20 мкг/мл поликлонального кроличьего антитела к hIgM (antibodies online #ABIN117299) или смесью, содержащей 2 мкг/мл антитела hIgM и изотипический контроль mIgG2b (клон MPC-11, BD Pharmingen #557351).

3x10<sup>5</sup> клеток из линий клеток лимфомы Daudi или Ramos и первичные В-клетки собирали путем центрифугирования и инкубировали с различными

стимулирующими смесями в среде для анализа (RPMI 1640 + 1% FBS) в течение 20 мин. при 37°C.

Затем к образцам добавляли 5 мкг/мл антител к Fc $\gamma$ RIIB ch8A6 (0,8 мкл в разведении 1:10), 2B6 (1,5 мкл в разведении 1:10) или chGB3\_N297A (1,1 мкл в разведении 1:10) и клетки дополнительно инкубировали в течение 25-30 мин. Лизис осуществляли, как описано отдельно.

#### *Анализ характера фосфорилирования с помощью Вестерн-блоттинга*

##### *Лизис клеток*

Клетки осаждали при 4°C, отмывали ледяным PBS и инкубировали в 10 мкл лизирующего буфера (буфер RIPA (Cell Signaling), дополненный ингибиторами фосфатаз (PhosStop, Roche), ингибиторами протеаз (Complete Ultra Mini, без EDTA, Roche) и 1 мМ PMSF (Fluka Biochemica) в течение 30-45 мин. на льду.

##### *SDS-PAGE*

После центрифугирования супернатанты загружали в буфер для образца (буфер для образца NuPAGE LDS, средство для восстановления образца NuPAGE, Invitrogen), вносили в среду для SDS PAGE (гели NuPAGE Novex Bis-Tris Mini, подвижный буфер MES SDS (Invitrogen)). В случае SDS-PAGE добавляли буфер для образца LDS и средство для восстановления и образцы нагревали до 95°C в течение 5 мин. Образцы хранили при -20°C или сразу анализировали с помощью SDS-PAGE и Вестерн-блоттинга.

##### *Перенос белков на PVDF-мембранны и выявление*

Впоследствии белки переносили на PVDF-мембранны (Roti-PVDF, Roth, буфер для переноса 10 mM Tris, 100 mM глицин, 10% метанол, условия переноса: постоянный ток 240 mA, 90 мин. при 4°C). Мембранны блокировали 5% BSA в TBS-T (10 mM Tris, 150 mM NaCl, 0,1% Tween20) и окрашивали антителом к фосфорилированному Fc $\gamma$ RIIB/CD32 (pY292) (Cell Epitomics # 2308-1, 1:50000, при 4°C в течение ночи) или антителом к фосфорилированному белку SHIP

(1:1000, Cell Signaling #3941) и конъюгированным с HRP антителом к кроличьему иммуноглобулину (Jackson ImmunoResearch #111-036-045, 1:50000 в TBS-T, 1 час при комнатной температуре). Хемолюминисценцию (проявляемую с помощью WesternLightning Plus, Perkin Elmer) выявляли на рентгеновских пленках.

### *Стрипирование*

Для последующих анализов с использованием антител, направленных в отношении других фосфорилированных белков, мембранны подвергали стрипированию (Re-Blot Plus, Millipore) в течение 10 мин., промывали и блокировали перед окрашиванием антителом к β-актину (Sigma-Aldrich # A1978, 1:50000 и конъюгированным с HRP антителом к мышенному IgG, Sigma-Aldrich # A9044) или антителами к другим участвующим в передаче сигнала белкам.

### *Fc $\gamma$ RIIB-fosфорилирование ITIM в PBMC здорового донора значительно повышается антителами согласно настоящему изобретению*

PBMC здорового донора выделяли и либо оставляли необработанными, либо инкубировали в течение 25 минут со стимулирующей смесью (моноклональное мышнее антитело к hIgM и моноклональное кроличье антитело к mIgG). Затем клетки обрабатывали либо ch8A6, либо буфером в качестве контроля. Клеточные лизаты подвергали анализу с помощью Вестерн-блоттинга с использованием соответствующих антител для выявления, которые представлены выше. Было выявлено значительное повышение фосфорилирования мотива IIITIM в Fc $\gamma$ RIIB клеток (PBMC, В-клетки) (фиг. 6а). Контрольные эксперименты со стимуляцией клеток только стимулирующей смесью или только моноклональным мышним антителом к hIgM, моноклональным кроличьим антителом к mIgG в сочетании с ch8A6 не показали повышенного фосфорилирования ITIM в Fc $\gamma$ RIIB (фиг. 6б). Антитела согласно настоящему изобретению, таким образом, проявляют заметный эффект в отношении фосфорилирования ITIM в человеческих клетках с перекрестно сшитым BCR и мембраносвязанным (эндогенно экспрессируемым) Fc $\gamma$ RIIB, а не на непростимулированных клетках, т.е. клетках

без перекрестно сшитого BCR и мембрanoсвязанного Fc $\gamma$ RIIB. В ходе аутоиммунного заболевания BCR и мембрanoсвязанный Fc $\gamma$ RIIB будут перекрестно сшиваться аутоиммунными антигенами или иммунными комплексами (IC). Антитела согласно настоящему изобретению способны к ингибированию патогенных аутореактивных В-клеток при аутоиммунном заболевании путем повышения фосфорилирования ITIM в *Fc $\gamma$ RIIB*. Тем не менее, антитела согласно настоящему изобретению также способны к повышению фосфорилирования ITIM без перекрестно сшитого BCR (фиг. 6с).

#### *Сравнение эффектов ch8A6 с антителом из уровня техники (chGB3\_N297A)*

Сравнение эффекта клона ch8A6\_N297A и клона chGB3\_N297A в отношении фосфорилирования ITIM. Человеческие клетки Daudi обрабатывали смесью антител, а затем ch8A6\_N297A, chGB3\_N297A или 2B6, как описано выше. Антитело chGB3\_N297A, подобно ch8A6\_N297A является неблокирующим антителом к Fc $\gamma$ RIIB и распознает подобный эпитоп.

Добавление ch8A6\_N297A к обработанным смесью антител клеткам показало повышение фосфорилирования ITIM в Fc $\gamma$ RIIB уже при концентрациях 0,05 мкг/мл. Хотя повышенные концентрации chGB3\_N297A проявляли дозозависимую стимуляцию фосфорилирования ингибирующего мотива, неожиданно данный клон антитела не был способен достигать уровней фосфорилирования, сравнимых с 8A6. Денситометрическое количественное определение на рентгеновской пленке с использованием программного обеспечения “ImageJ” давало при расчете значения максимум 2,8-кратного возрастания числа сигналов фосфорилирования, тогда как hu8A6\_N297A приводило к 9,8-кратному повышению по сравнению с необработанными клетками (фиг. 7). Таким образом, антитела согласно настоящему изобретению ясно и неожиданно проявляют повышенное фосфорилирование ITIM в *Fc $\gamma$ RIIB* по сравнению с антителами из уровня техники.

*Сравнение эффекта гуманизированного варианта h8A6, химерного 8A6\_N297A и chGB3\_N297A в отношении фосфорилирования ITIM в первичных PBMC*

Антитело chGB3\_N297A, ch8A6\_N297A и гуманизированное 8A6 сравнивали по их влиянию на фосфорилирование ITIM *FcγRIIB* в первичных человеческих PBMC. После перекрестного сшивания BCR и *FcγRIIB* с помощью смеси антител добавляли различные антитела в концентрации 5 мкг/мл и проводили анализ с помощью Вестерн-блоттинга в отношении фосфорилирования ITIM. И вновь антитела согласно настоящему изобретению неожиданно оказывали значительно повышенный эффект в отношении фосфорилирования ITIM в *FcγRIIB* по сравнению с антителом из уровня техники (фиг. 8).

*Совместное иммуноосаждение фосфорилированного ITIM FcγRIIB с SHIP-1*

После перекрестного сшивания рецепторов фосфатаза SHIP привлекается к мембране посредством связывания ее SH2-домена с фосфотирозином в мотиве ITIM в *FcγRIIB* с последующим фосфорилированием тирозина в мотиве NPXY в С-концевом домене SHIP-1. Релокализация в мембране и последующее фосфорилирование мотива NPXY являются необходимыми для регуляторной функции SHIP-1. Ее эффект в отношении поступления кальция, выживания, роста клеток, блокирования клеточного цикла и апоптоза опосредуется через пути PI3K и Akt. Тир1021 находится в одном из мотивов NPXY в SHIP-1, и его фосфорилирование является важным для функции SHIP-1 (Nimmerjahn, Ravetch, 2008).

Человеческие клетки Daudi стимулировали смесью антител, которая определена в разделе выше, и после лизиса в буфере для мягкого лизиса (буфер для лизиса CoIP) образцы инкубировали с 2B6 для улавливания *FcγRIIB*. Комплексы связывали с ферромагнитными гранулами с присоединенным белком G и выделяли на магнитной подставке.

Лизаты с  $1 \times 10^7$  клеток/образец получали в 500 мкл CoIP буфера для лизиса, инкубируя клетки в течение 30 мин. на льду и перемешивая на вихревой мешалке каждые 10 мин. Клеточный дебрис осаждали центрифугированием при 13000 об./мин. в течение 10 мин. при 4°C и супернатанты переносили в новые пробирки. 500 мкл лизатов инкубировали с 10 мкг 2B6 в течение 2-3 часов при 4°C с переворотом с донышка на крышку. Магнитные гранулы с присоединенным белком G промывали дважды 500 мкл буфера для лизиса и 50 мкл гранул (1,5 мг) добавляли к комплексам лизат-антитело на ночь при 4°C (вращающееся колесо). Комплексы элюировали из гранул посредством двукратного промывания 200 мкл буфера для лизиса и нагревания гранул в течение 5 мин. в 25 мкл 1xLDS буфера для образца, содержащего средство для восстановления. После центрифугирования при 4000 x g в течение 30 с 10 мкл супернатанта вносили в среду для SDS-PAGE для анализа с помощью Вестерн-блоттинга.

Анализы лизатов с помощью Вестерн-блоттинга показали значительно возросшие уровни фосфорилированной SHIP-1 в образцах клеток, обработанных смесью антител и ch8A6\_N297A. Поскольку осаждение осуществляли со специфичным к Fc $\gamma$ RIIB антителом 2B6, совместно осаждалась только выделенная SHIP-1, связанная с Fc $\gamma$ RIIB. Мембранные после стрипирования и повторного окрашивания показывали усиленное фосфорилирование ITIM Fc $\gamma$ RIIB в образцах, обработанных ch8A6\_N297A, что коррелировало с сигналами фосфорилированной SHIP1. Второе повторное окрашивание  $\alpha$ -hFc $\gamma$ RIIB a, b, c показало равные количества осажденного рецептора Fc $\gamma$ RIIB во всех образцах, служащих в качестве загрузочного контроля для SDS-PAGE (фиг. 9).

## ГУМАНИЗАЦИЯ ch8A6

ch8A6 гуманизировали путем прививки последовательностей, определяющих комплементарность участков, из крысиного антитела на человеческие каркасные части. Для выбора человеческих каркасных частей последовательности V<sub>H</sub> и V<sub>L</sub>

сравнивали с последовательностями вариабельного и сочленяющего участка в сегментах гена Ig человека в зародышевой линии, полученными из общедоступных баз данных (IMGT; V-BASE). Последовательности зародышевой линии человека VH\_3\_30 вместе с IGHJ4 и последовательности зародышевой линии человека VK3\_15 вместе с IGKJ2 выбирали для тяжелой и легкой цепей, соответственно.

Создавали несколько вариантов гуманизированных тяжелой и легкой цепей. Гены, кодирующие сконструированные последовательности гуманизированных  $V_H$  и  $V_L$ , синтезировали с использованием Life Science Technologies / Geneart с последующим субклонированием в вектор экспрессии у млекопитающих. Процедуру скрининга вариантов антитела осуществляли сразу на супернатанте от трансфицированных клеток CHO-S (Invitrogen). Химерное антитело 8A6 служило в качестве контроля и стандарта для трансфекции в ходе скрининга гуманизированных вариантов. Варианты Hu8A6 анализировали в отношении связывания на sFc $\gamma$ RIIIB и sFc $\gamma$ RIIA посредством ELISA и на нативном Fc $\gamma$ RIIB посредством FACS на клетках Raji (см. выше). Кроме того, определение кинетических характеристик вариантов антитела осуществляли с использованием поверхностного плазмонного резонанса.

### **Исследование гуманизированных вариантов 8A6**

Для исследования активностей в отношении фосфорилирования у гуманизированных вариантов 8A6 клетки Daudi стимулировали смесью антител, обрабатывали 0,5 или 5 мкг/мл различных вариантов 8A6 и проводили анализ с помощью Вестерн-блоттинга в отношении фосфорилирования ITIM.

### ***Сравнение гуманизированных вариантов 8A6 с ch8A6\_N297A***

Все исследуемые гуманизированные варианты 8A6 были способны к индукции фосфорилирования рецептора, и уровни фосфорилирования были сравнимы с индуцируемыми ch8A6\_N297A из той же очищаемой партии. Следовательно, не было выявлено потери активности после второго цикла гуманизации. Хотя

данные Biacore предполагали различные аффинности в отношении различных комбинаций тяжелой и легкой цепи, эти различия не выявлялись анализами с помощью Вестерн-блоттинга (фиг. 10).

### *Сравнение гуманизированных вариантов 8A6 с ch8A6\_N297A, блокирующим антителом к Fc $\gamma$ RIIB (2B6) и chGB3\_N297A*

После выбора окончательной комбинации гуманизированных цепей этот вариант, сочетающий тяжелую цепь V<sub>H</sub>10 с легкой цепью V<sub>L</sub>6, наконец сравнивали с антителами ch8A6\_N297A, 2B6 и chGB3\_N297A (фиг. 11).

## **АНАЛИЗЫ IN VIVO**

### **Модель SLE-PBL**

Rag2/гамма-с/Fc $\gamma$ -/- мышей облучали в дозе 6 Гр и им вводили внутрибрюшно варьирующие количества лейкоцитов периферической крови человека в 500 мкл PBS.

Обработку мышей начинали через 2 недели после инъекции клеток после того, как пересадку PBL от пациентов-людей со SLE мышам подтверждали наличием человеческого иммуноглобулина M или G. Мышей обрабатывали путем введения 200 мкл буфера (PBS) или 20 мкг антитела (ch8A6\_N297A) в 200 мкл PBS внутрибрюшно дважды в неделю в течение 4 недель. Мышей взвешивали и брали кровь для получения сыворотки один раз в неделю. Образцы сыворотки замораживали при -80°C до дальнейшего использования (фиг. 12).

### **ELISA**

Образцы сыворотки анализировали с помощью ELISA в отношении присутствия общего количества человеческого IgG, IgM и антител IgM и IgG к ДНК.

Для количественного определения общего количества сывороточных IgM и IgG в образцах сыворотки использовали набор для количественного определения человеческого IgM с помощью ELISA Bethyl и набор для количественного

определения человеческого IgG с помощью ELISA (Biomol) в соответствии с инструкциями производителя. OD (оптическая плотность) измеряли с использованием настраиваемого микропланшет-ридера VersaMax (Molecular Devices) при длине волны 450 и 650 нм.

Для выявления антител к ДНК планшеты для ELISA покрывали метилированным BSA (Sigma) в PBS при концентрации 10 мкг/мл в течение 2 часов при комнатной температуре. После отмычки планшеты покрывали ДНК тимуса теленка (Sigma) при концентрации 50 мкг/мл в PBS при 4°C в течение ночи. Блокирование неспецифичного связывания осуществляли с использованием смеси PBS/0,1% желатин/3% BSA/1 мМ EDTA в течение 2 часов при комнатной температуре. Образцы сыворотки разводили 1:100 в блокирующем растворе и инкубировали в течение 1 часа при комнатной температуре. В качестве выявляющего антитела использовали конъюгированное с HRP антитело из набора для количественного определения человеческого IgM (Bethyl) и его разводили 1:10000 в блокирующем растворе с последующей инкубацией в течение 1 часа при комнатной температуре. PBS использовали для всех этапов отмычки. Для выявления добавляли раствор ТМВ (тетраметилбензидин) и реакцию останавливали 6% ортофосфорной кислотой.

***Модель SLE-PBL, общее количество сывороточного иммуноглобулина человека***

Анализировали общие уровни человеческого IgG [мкг/мл] у мышей, которым пересадили PBL от доноров-людей, страдающих от SLE. Не выявили существенного отличия в общем количестве человеческого IgG между PBS или антителом к Fc $\gamma$ RIIB. Антитело согласно настоящему изобретению не оказывало существенного влияния на общее количество человеческого IgG (фиг. 13).

***Модель SLE-PBL, влияние на антитела к ДНК (специфичный к заболеванию IgG)***

Значительное снижение количества специфичного к заболеванию человеческого IgG антитела к ДНК у мышей с антителом к Fc $\gamma$ RIIB наблюдали, начиная с 4 недели после

переноса/пересадки SLE-PBL.

Антитела согласно настоящему изобретению специфично снижают количество связанных с заболеванием антител к ДНК (фиг. 14).

**СПИСОК ИСТОЧНИКОВ**

Almagro J.C. and Fransson J. (2008), Humanization of antibodies. *Front Biosci* 13:1619-33.

Amigorena, S., Bonnerot, C., Drake, J.R., Choquet, D., Hunziker, W., Guillet, J.G., Webster, P., Sautes, C., Mellman, I., Fridman, W.H. (1992), Cytoplasmic domain heterogeneity and functions of IgG Fc receptors in B lymphocytes, *Science* 256, 1808-1812.

Beck A, Wurch T, Bailly C, Corvaia N. 2010. Strategies and challenges for the next generation of therapeutic antibodies. *Nat. Rev. Immunol.* 10: 345-352.

Bolland S, Ravetch JV (2000), Spontaneous autoimmune disease in Fc(gamma)RIIB-deficient mice results from strain-specific epistasis. *Immunity* 13(2), 277-85.

Cassel DL, Keller MA, Surrey S, Schwartz E, Schreiber AD, Rappaport EF, McKenzie SE Differential expression of Fc gamma RIIA, Fc gamma RIIB and Fc gamma RIIC in hematopoietic cells: analysis of transcripts. *Mol Immunol.* 1993 Apr; 30(5):451-60.

Chan AC and Carter PJ. 2010. Therapeutic antibodies for autoimmunity and inflammation *Nat. Rev., Immunol.* 10(5):301-16.

Daeron M, Latour S, Malbec O, Espinosa E, Pina P, Pasmans S, Fridman WH. 1995. The same tyrosine-based inhibition motif, in the intracytoplasmic domain of Fc gamma RIIB, regulates negatively BCR-, TCR-, and FcγR-dependent cell activation. *Immunity* 3:635–46.

Edelman GM, Cunningham BA, Gall WE, Gottlieb PD, Rutishauser U, Waxdal MJ. 1969. The covalent structure of an entire gammaG immunoglobulin molecule. *Proc Natl Acad Sci U S A.* 63(1):78-85.

Ghazizadeh, S., Bolen, J.B. & Fleit, H.B. Physical and functional association of Src-related protein tyrosine kinsases with FcgRII and moncytic THP-1 cells, *J.Biol. Chem.* 269, 8878-8884 (1994)

Hammerling et al. Monoclonal Antibodies and T-cell Hybridomas, pp. 563-681 (Elsevier, N.Y., 1981)

Harlow et al. (2<sup>nd</sup> Ed. 1988), Antibodies: A Laboratory Manual, *Cold Spring Harbor Laboratory Press*.

Isakov N. (1997), ITIMs and ITAMs. The Yin and Yang of antigen and Fc receptor-linked signaling machinery. *Immunol Res.* 16, 85-100.

Jones, P.T. et al. (1968), Replacing the complementarity-determining regions in a human antibody with those from a mouse, *Nature* 321:522-525.

Malmborg AC, Borrebaeck CA. (1995) BIACore as a tool in antibody engineering. *J Immunol Methods.* 1995 Jun 14;183(1):7-13.

Nimmerjahn F, Ravetch JV 2008. Fc receptors as regulators of immune responses. *Nature Reviews Immunology* 8, 34-47.

Presta L.G. (2008), Molecular engineering and design of therapeutic antibodies.

*Curr Opin Immunol.* 20(4):460-70.

Ravetch, J. V. and Bolland, S. (2001), IgG Fc Receptors. *Annu. Rev. Immunol.* 19, 275-290.

Reichert JM. (2012) Marketed therapeutic antibodies compendium. *MAbs* 4(3):413-5

Santos A.D. and Padlan E.A. (1998), Development of more efficacious antibodies for medical therapy and diagnosis. *Prog Nucleic Acid Res Mol Biol.* 60:169-94.

Winter G, Milstein C. (1991) Man-made antibodies. *Nature.* 349(6307):293-9.

Xiang Z, Cutler AJ, Brownlie RJ, Fairfax K, Lawlor KE, Severinson E, Walker EU, Manz RA, Tarlinton DM, Smith KG. 2007. FcgammaRIIb controls bone marrow plasma cell persistence and apoptosis. *Nat Immunol.* 8(4):419-29.

Zhou, M.-J., Todd, R.F., van de Winkel, J.G.J., Petty, H.R. (1993), Cocapping of the leukoadhesin molecules complement receptor type 3 and lymphocyte function-associated antigen-1 with Fc $\gamma$ RIII on human neutrophils. Possible role of lectin-like interactions, *J. Immunol.* 150, 3030-3041.

ПЕРЕЧЕНЬ ПОСЛЕДОВАТЕЛЬНОСТЕЙ

<110> Зуппремоль ГмбХ

<120> НОВЫЕ АНТИТЕЛА К FC-ГАММА-РЕЦЕПТОРУ II В И ИХ ПРИМЕНЕНИЯ

<130> 02043198PCT

<150> EP13004094.2

<151> 2013-08-16

<160> 34

<170> PatentIn версии 3.5

<210> 1

<211> 113

<212> БЕЛОК

<213> Rattus norvegicus

<220>

<221> ДРУГОЙ ПРИЗНАК

<222> (1)..(113)

<223> VH r8A6

<400> 1

Glu Val Gln Leu Val Glu Ser Gly Gly Asp Leu Val Gln Pro Gly Arg  
1 5 10 15

Ser Leu Arg Leu Ser Cys Ala Ala Ser Gly Phe Thr Phe Ser Asp Tyr  
20 25 30

Tyr Met Ala Trp Val Arg Gln Ala Pro Lys Lys Gly Leu Glu Trp Val  
35 40 45

Ala Ser Ile Ser Ser Asp Gly Ser Asn Thr Tyr Tyr Gly Asp Ser Val  
50 55 60

Lys Gly Arg Phe Thr Ile Ser Arg Asp Asn Thr Arg Ser Asn Leu Tyr  
65 70 75 80

Leu Gln Met Asn Ser Leu Arg Ser Glu Asp Thr Ala Thr Tyr Tyr Cys  
85 90 95

Ala Arg Pro Gly Asp Tyr Trp Gly Gln Gly Val Met Val Thr Val Ser  
100 105 110

Ser

<210> 2

<211> 108

<212> БЕЛОК  
<213> Rattus norvegicus

<220>  
<221> ДРУГОЙ\_ПРИЗНАК  
<223> VL r8A6

<220>  
<221> ДРУГОЙ\_ПРИЗНАК  
<222> (1)..(108)  
<223> VL r8A6

<400> 2

Asn Ile Val Met Thr Gln Ser Pro Thr Ser Met Phe Ile Ser Val Gly  
1 5 10 15

Asp Arg Val Thr Met Asn Cys Lys Ala Ser Gln Asn Val Gly Thr Tyr  
20 25 30

Val Asp Trp Phe Gln Gln Lys Thr Gly Gln Ser Pro Thr Leu Leu Ile  
35 40 45

Phe Gly Ala Ser Asn Arg Tyr Thr Gly Val Pro Asp Arg Phe Thr Gly  
50 55 60

Ser Gly Ser Gly Thr Asp Phe Thr Leu Ser Ile Ser Asn Met Gln Ala  
65 70 75 80

Glu Asp Leu Ala Val Tyr Tyr Cys Leu Gln Tyr Asn Tyr His Pro Tyr  
85 90 95

Thr Phe Gly Pro Gly Thr Thr Leu Glu Leu Lys Arg  
100 105

<210> 3  
<211> 113  
<212> БЕЛОК  
<213> Искусственная последовательность

<220>  
<223> гуманизированное антитело

<220>  
<221> ДРУГОЙ\_ПРИЗНАК  
<222> (1)..(113)  
<223> VH hu8A6

<400> 3

Gln Val Gln Leu Val Glu Ser Gly Gly Val Val Gln Pro Gly Arg  
1 5 10 15

Ser Leu Arg Leu Ser Cys Ala Ala Ser Gly Phe Thr Phe Ser Asp Tyr

20

25

30

Tyr Met Ala Trp Val Arg Gln Ala Pro Gly Lys Gly Leu Glu Trp Val  
35 40 45

Ala Ser Ile Ser Tyr Asp Gly Ser Asn Lys Tyr Tyr Gly Asp Ser Val  
50 55 60

Lys Gly Arg Phe Thr Ile Ser Arg Asp Asn Ser Lys Asn Thr Leu Tyr  
65 70 75 80

Leu Gln Met Asn Ser Leu Arg Ala Glu Asp Thr Ala Val Tyr Tyr Cys  
85 90 95

Ala Arg Pro Gly Asp Tyr Trp Gly Gln Gly Thr Leu Val Thr Val Ser  
100 105 110

Ser

<210> 4  
<211> 108  
<212> БЕЛОК  
<213> Искусственная последовательность

<220>  
<223> гуманизированное антитело

<220>  
<221> ДРУГОЙ\_ПРИЗНАК  
<222> (1)..(108)  
<223> VL hu8A6

<400> 4

Gln Ile Val Met Thr Gln Ser Pro Ala Thr Leu Ser Val Ser Pro Gly  
1 5 10 15

Glu Arg Ala Thr Leu Ser Cys Arg Ala Ser Gln Ser Val Gly Ser Tyr  
20 25 30

Val Asp Trp Tyr Gln Gln Lys Pro Gly Gln Ala Pro Arg Leu Leu Ile  
35 40 45

Tyr Gly Ala Ser Thr Arg Tyr Thr Gly Ile Pro Ala Arg Phe Ser Gly  
50 55 60

Ser Gly Ser Gly Thr Glu Phe Thr Leu Thr Ile Ser Ser Leu Gln Ser  
65 70 75 80

Glu Asp Phe Ala Val Tyr Tyr Cys Leu Gln Tyr Asn Asn His Pro Tyr

85

90

95

Thr Phe Gly Gln Gly Thr Lys Leu Glu Ile Lys Arg  
100 105

<210> 5  
<211> 181  
<212> БЕЛОК  
<213> Homo sapiens

<220>  
<221> ДРУГОЙ ПРИЗНАК  
<222> (1)..(181)  
<223> FcγRIIB человека

<400> 5

Met Gly Thr Pro Ala Ala Pro Pro Lys Ala Val Leu Lys Leu Glu Pro  
1 5 10 15

Gln Trp Ile Asn Val Leu Gln Glu Asp Ser Val Thr Leu Thr Cys Arg  
20 25 30

Gly Thr His Ser Pro Glu Ser Asp Ser Ile Gln Trp Phe His Asn Gly  
35 40 45

Asn Leu Ile Pro Thr His Thr Gln Pro Ser Tyr Arg Phe Lys Ala Asn  
50 55 60

Asn Asn Asp Ser Gly Glu Tyr Thr Cys Gln Thr Gly Gln Thr Ser Leu  
65 70 75 80

Ser Asp Pro Val His Leu Thr Val Leu Ser Glu Trp Leu Val Leu Gln  
85 90 95

Thr Pro His Leu Glu Phe Gln Glu Gly Glu Thr Ile Val Leu Arg Cys  
100 105 110

His Ser Trp Lys Asp Lys Pro Leu Val Lys Val Thr Phe Phe Gln Asn  
115 120 125

Gly Lys Ser Lys Lys Phe Ser Arg Ser Asp Pro Asn Phe Ser Ile Pro  
130 135 140

Gln Ala Asn His Ser His Ser Gly Asp Tyr His Cys Thr Gly Asn Ile  
145 150 155 160

Gly Tyr Thr Leu Tyr Ser Ser Lys Pro Val Thr Ile Thr Val Gln Ala  
165 170 175

Pro Ser Ser Ser Pro  
180

<210> 6  
<211> 329  
<212> БЕЛОК  
<213> Искусственная последовательность

<220>  
<223> гуманизированное антитело

<220>  
<221> ДРУГОЙ ПРИЗНАК  
<222> (1)..(329)  
<223> CH hu8A6\_wt

<400> 6

Ala Ser Thr Lys Gly Pro Ser Val Phe Pro Leu Ala Pro Ser Ser Lys  
1 5 10 15

Ser Thr Ser Gly Gly Thr Ala Ala Leu Gly Cys Leu Val Lys Asp Tyr  
20 25 30

Phe Pro Glu Pro Val Thr Val Ser Trp Asn Ser Gly Ala Leu Thr Ser  
35 40 45

Gly Val His Thr Phe Pro Ala Val Leu Gln Ser Ser Gly Leu Tyr Ser  
50 55 60

Leu Ser Ser Val Val Thr Val Pro Ser Ser Ser Leu Gly Thr Gln Thr  
65 70 75 80

Tyr Ile Cys Asn Val Asn His Lys Pro Ser Asn Thr Lys Val Asp Lys  
85 90 95

Lys Val Glu Pro Lys Ser Cys Asp Lys Thr His Thr Cys Pro Pro Cys  
100 105 110

Pro Ala Pro Glu Leu Leu Gly Gly Pro Ser Val Phe Leu Phe Pro Pro  
115 120 125

Lys Pro Lys Asp Thr Leu Met Ile Ser Arg Thr Pro Glu Val Thr Cys  
130 135 140

Val Val Val Asp Val Ser His Glu Asp Pro Glu Val Lys Phe Asn Trp  
145 150 155 160

Tyr Val Asp Gly Val Glu Val His Asn Ala Lys Thr Lys Pro Arg Glu  
165 170 175

Glu Gln Tyr Asn Ser Thr Tyr Arg Val Val Ser Val Leu Thr Val Leu  
180 185 190

His Gln Asp Trp Leu Asn Gly Lys Glu Tyr Lys Cys Lys Val Ser Asn  
195 200 205

Lys Ala Leu Pro Ala Pro Ile Glu Lys Thr Ile Ser Lys Ala Lys Gly  
210 215 220

Gln Pro Arg Glu Pro Gln Val Tyr Thr Leu Pro Pro Ser Arg Glu Glu  
225 230 235 240

Met Thr Lys Asn Gln Val Ser Leu Thr Cys Leu Val Lys Gly Phe Tyr  
245 250 255

Pro Ser Asp Ile Ala Val Glu Trp Glu Ser Asn Gly Gln Pro Glu Asn  
260 265 270

Asn Tyr Lys Thr Thr Pro Pro Val Leu Asp Ser Asp Gly Ser Phe Phe  
275 280 285

Leu Tyr Ser Lys Leu Thr Val Asp Lys Ser Arg Trp Gln Gln Gly Asn  
290 295 300

Val Phe Ser Cys Ser Val Met His Glu Ala Leu His Asn His Tyr Thr  
305 310 315 320

Gln Lys Ser Leu Ser Leu Ser Pro Gly  
325

<210> 7  
<211> 106  
<212> БЕЛОК  
<213> Искусственная последовательность

<220>  
<223> гуманизированное антитело

<220>  
<221> ДРУГОЙ\_ПРИЗНАК  
<222> (1)..(106)  
<223> CL hu8A6\_wt

<400> 7

Thr Val Ala Ala Pro Ser Val Phe Ile Phe Pro Pro Ser Asp Glu Gln  
1 5 10 15

Leu Lys Ser Gly Thr Ala Ser Val Val Cys Leu Leu Asn Asn Phe Tyr  
20 25 30

Pro Arg Glu Ala Lys Val Gln Trp Lys Val Asp Asn Ala Leu Gln Ser  
35 40 45

Gly Asn Ser Gln Glu Ser Val Thr Glu Gln Asp Ser Lys Asp Ser Thr  
50 55 60

Tyr Ser Leu Ser Ser Thr Leu Thr Leu Ser Lys Ala Asp Tyr Glu Lys  
65 70 75 80

His Lys Val Tyr Ala Cys Glu Val Thr His Gln Gly Leu Ser Ser Pro  
85 90 95

Val Thr Lys Ser Phe Asn Arg Gly Glu Cys  
100 105

<210> 8

<211> 339

<212> ДНК

<213> Искусственная последовательность

<220>

<223> гуманизированное антитело

<220>

<221> ДРУГОЙ\_ПРИЗНАК

<222> (1)..(339)

<223> VH hu8A6

<400> 8

caggtgcagc tggtgaggc tgggggaggc gtggtcagc ctgggaggc cctgagactc 60

tcctgtcag cctctggatt cacccatgt gactattaca tggcctgggt ccgccaggct 120

ccaggcaagg ggctggagtg ggtggcatcc atatcatacg atggaagcaa taagtactac 180

ggagactccg tgaagggccg attcaccatc tccagagaca attccaagaa cacgctgtat 240

ctgcaaatga acagcctgag agctgaggac acggctgtgt attactgtgc gagaccggga 300

gactactggg gccaaaggAAC cctggtcacc gtcagctca 339

<210> 9

<211> 324

<212> ДНК

<213> Искусственная последовательность

<220>

<223> гуманизированное антитело

<220>

<221> ДРУГОЙ\_ПРИЗНАК

<222> (1)..(324)

<223> VL hu8A6

<400> 9

cagatagtga tgacgcagtc tccagccacc ctgtctgtgt ctccagggga aagagccacc 60

ctctcctgca	gggccagtc	gtccgttggc	tcctatgtcg	actggtagcca	gcagaaacct	120
ggccaggctc	ccaggctcct	catctatggt	gcatccacca	ggtacactgg	tatcccagcc	180
aggttcagtg	gcagtgggtc	tggacagag	ttcactctca	ccatcagcag	cctgcagtct	240
gaagattttg	cagtttatta	ctgtctgcag	tataacaacc	atccttacac	ttttggccag	300
gggaccaagc	tggagatcaa	acgt				324

<210> 10

<211> 990

<212> ДНК

<213> Искусственная последовательность

<220>

<223> гуманизированное антитело

<220>

<221> ДРУГОЙ ПРИЗНАК

<222> (1)..(990)

<223> CH hu8A6\_wt

<400> 10

gcctccacca	agggcccatt	ggtttcccc	ctggcaccc	cctccaagag	cacctctggg	60
------------	------------	-----------	-----------	------------	------------	----

ggcacagcgg	ccctgggctg	cctggtaag	gactactcc	ccgaaccgg	gacggtgtcg	120
------------	------------	-----------	-----------	-----------	------------	-----

tggacttag	gcgcctgac	cagggcggt	cacaccc	cggctgtcct	acagtcc	180
-----------	-----------	-----------	---------	------------	---------	-----

ggactctact	ccctcagcag	cgtggtgacc	gtgcctcca	gcagttggg	cacccagacc	240
------------	------------	------------	-----------	-----------	------------	-----

tacatctgca	acgtgaatca	caagcccagc	aacaccaagg	tggacaagaa	ggttgagccc	300
------------	------------	------------	------------	------------	------------	-----

aaatcttgt	acaaaactca	cacatgccc	ccgtgccc	cacctgaact	cctgggggga	360
-----------	------------	-----------	----------	------------	------------	-----

ccgtcagtct	tcctttccc	ccaaaaacc	aaggacaccc	tcatgatctc	ccggaccc	420
------------	-----------	-----------	------------	------------	----------	-----

gaggtcacat	gcgtgggt	ggacgtgagc	cacgaagacc	ctgaggtcaa	gttcaactgg	480
------------	----------	------------	------------	------------	------------	-----

tacgtggacg	gcgtggaggt	gcataatgcc	aagacaaagc	cgcgggagga	gcagtacaac	540
------------	------------	------------	------------	------------	------------	-----

agcacgtacc	gtgtggtcag	cgtcctcacc	gtcctgcacc	aggactggct	aatggcaag	600
------------	------------	------------	------------	------------	-----------	-----

gagtacaagt	gcaaggcttc	caacaaagcc	ctcccaagccc	ccatcgagaa	aaccatctcc	660
------------	------------	------------	-------------	------------	------------	-----

aaagccaaag	ggcagcccc	agaaccacag	gtgtacaccc	tgccccatc	ccgggaggag	720
------------	-----------	------------	------------	-----------	------------	-----

atgaccaaga	accaggtcag	cctgacactgc	ctggtaaaag	gcttcttatcc	cagcgacatc	780
------------	------------	-------------	------------	-------------	------------	-----

gccgtggagt	gggagagcaa	tggcagccg	gagaacaact	acaagaccac	gcctcccgtg	840
------------	------------	-----------	------------	------------	------------	-----

ctggactccg	acggctcctt	cttcctctac	agcaagctca	ccgtggacaa	gagcaggtgg	900
------------	------------	------------	------------	------------	------------	-----

cagcagggga	acgtcttctc	atgctccgtg	atgcataagg	ctctgcacaa	ccactacacg	960
------------	------------	------------	------------	------------	------------	-----

cagaagagcc	tctccctgtc	tccgggttaa				990
------------	------------	------------	--	--	--	-----

<210> 11

<211> 321

<212> ДНК  
<213> Искусственная последовательность

<220>  
<223> гуманизированное антитело

<220>  
<221> ДРУГОЙ ПРИЗНАК  
<222> (1)..(321)  
<223> CL hu8A6\_wt

<400> 11  
acggtggtg caccatcggt cttcatcttc ccgcacatctg atgagcaggta gaaatctgga 60  
actgcctctg ttgtgtgcct gctgaataac ttctatccca gagaggccaa agtacagtgg 120  
aagggtggata acgcctcca atcgggtaac tcccaggaga gtgtcacaga gcaggacagc 180  
aaggacagca cctacagcct cagcagcacc ctgacgctga gcaaagcaga ctacgagaaa 240  
cacaaggatct acgcctgcga agtcacccat cagggcctga gctcgcccg 300  
ttcaacaggg gagagtgtta g 321

<210> 12  
<211> 125  
<212> БЕЛОК  
<213> Homo sapiens

<220>  
<221> ДРУГОЙ ПРИЗНАК  
<222> (1)..(125)  
<223> растворимый FCyRIIA человека

<400> 12

Arg Phe Lys Ala Asn Asn Asp Ser Gly Glu Tyr Thr Cys Gln Thr  
1 5 10 15

Gly Gln Thr Ser Leu Ser Asp Pro Val His Leu Thr Val Leu Ser Glu  
20 25 30

Trp Leu Val Leu Gln Thr Pro His Leu Glu Phe Gln Glu Gly Glu Thr  
35 40 45

Ile Met Leu Arg Cys His Ser Trp Lys Asp Lys Pro Leu Val Lys Val  
50 55 60

Thr Phe Phe Gln Asn Gly Lys Ser Gln Lys Phe Ser Arg Leu Asp Pro  
65 70 75 80

Thr Phe Ser Ile Pro Gln Ala Asn His Ser His Ser Gly Asp Tyr His  
85 90 95

Cys Thr Gly Asn Ile Gly Tyr Thr Leu Phe Ser Ser Lys Pro Val Thr

100

105

110

Ile Thr Val Gln Val Pro Ser Met Gly Ser Ser Ser Pro  
115 120 125

<210> 13  
<211> 179  
<212> БЕЛОК  
<213> Homo sapiens

<220>  
<221> ДРУГОЙ ПРИЗНАК  
<222> (1)..(179)  
<223> растворимый мутированный FCyRIIA человека

<400> 13

Met Ala Pro Pro Lys Ala Val Leu Lys Leu Glu Pro Pro Trp Ile Asn  
1 5 10 15

Val Leu Gln Glu Asp Ser Val Thr Leu Thr Cys Gln Gly Ala Arg Ser  
20 25 30

Pro Glu Ser Asp Ser Ile Gln Trp Phe His Asn Gly Asn Leu Ile Pro  
35 40 45

Thr His Thr Gln Pro Ser Tyr Arg Phe Lys Ala Asn Asn Asn Asp Ser  
50 55 60

Gly Glu Tyr Thr Cys Gln Thr Gly Gln Thr Ser Leu Ser Asp Pro Val  
65 70 75 80

His Leu Thr Val Leu Ser Glu Trp Leu Val Leu Gln Thr Pro His Leu  
85 90 95

Glu Phe Gln Glu Gly Glu Thr Ile Met Leu Arg Cys His Ser Trp Lys  
100 105 110

Asp Lys Pro Leu Val Lys Val Thr Phe Phe Gln Asn Gly Lys Ser Lys  
115 120 125

Lys Phe Ser Arg Ser Asp Pro Asn Phe Ser Ile Pro Gln Ala Asn His  
130 135 140

Ser His Ser Gly Asp Tyr His Cys Thr Gly Asn Ile Gly Tyr Thr Leu  
145 150 155 160

Phe Ser Ser Lys Pro Val Thr Ile Thr Val Gln Val Pro Ser Met Gly  
165 170 175

Ser Ser Pro

<210> 14  
<211> 5  
<212> БЕЛОК  
<213> Искусственная последовательность

<220>  
<223> тяжелая цепь CDR1 из антитела крысы 8A6

<400> 14

Asp Tyr Tyr Met Ala  
1 5

<210> 15  
<211> 17  
<212> БЕЛОК  
<213> Искусственная последовательность

<220>  
<223> тяжелая цепь CDR2 из антитела крысы 8A6

<400> 15

Ser Ile Ser Ser Asp Gly Ser Asn Thr Tyr Tyr Gly Asp Ser Val Lys  
1 5 10 15

Gly

<210> 16  
<211> 6  
<212> БЕЛОК  
<213> Искусственная последовательность

<220>  
<223> тяжелая цепь CDR3 из антитела крысы 8A6

<400> 16

Ala Arg Pro Gly Asp Tyr  
1 5

<210> 17  
<211> 11  
<212> БЕЛОК  
<213> Искусственная последовательность

<220>  
<223> легкая цепь CDR1 из антитела крысы 8A6

<400> 17

Lys Ala Ser Gln Asn Val Gly Thr Tyr Val Asp  
1 5 10

<210> 18  
<211> 7  
<212> БЕЛОК  
<213> Искусственная последовательность

<220>  
<223> легкая цепь CDR2 из антитела крысы 8A6

<400> 18

Gly Ala Ser Asn Arg Tyr Thr  
1 5

<210> 19  
<211> 9  
<212> БЕЛОК  
<213> Искусственная последовательность

<220>  
<223> легкая цепь CDR3 из антитела крысы 8A6

<400> 19

Leu Gln Tyr Asn Tyr His Pro Tyr Thr  
1 5

<210> 20  
<211> 5  
<212> БЕЛОК  
<213> Искусственная последовательность

<220>  
<223> тяжелая цепь CDR1 из гуманизированного антитела 8A6

<400> 20

Asp Tyr Tyr Met Ala  
1 5

<210> 21  
<211> 17  
<212> БЕЛОК  
<213> Искусственная последовательность

<220>  
<223> тяжелая цепь CDR2 из гуманизированного антитела 8A6

<400> 21

Ser Ile Ser Tyr Asp Gly Ser Asn Lys Tyr Tyr Gly Asp Ser Val Lys  
1 5 10 15

Gly

<210> 22  
<211> 6  
<212> БЕЛОК  
<213> Искусственная последовательность

<220>  
<223> тяжелая цепь CDR3 гуманизированного антитела 8A6

<400> 22

Ala Arg Pro Gly Asp Tyr  
1 5

<210> 23  
<211> 11  
<212> БЕЛОК  
<213> Искусственная последовательность

<220>  
<223> легкая цепь CDR1 гуманизированного антитела 8A6

<400> 23

Arg Ala Ser Gln Ser Val Gly Ser Tyr Val Asp  
1 5 10

<210> 24  
<211> 7  
<212> БЕЛОК  
<213> Искусственная последовательность

<220>  
<223> легкая цепь CDR2 гуманизированного антитела 8A6

<400> 24

Gly Ala Ser Thr Arg Tyr Thr  
1 5

<210> 25  
<211> 9  
<212> БЕЛОК  
<213> Искусственная последовательность

<220>  
<223> легкая цепь CDR3 из гуманизированного антитела 8A6

<400> 25

Leu Gln Tyr Asn Asn His Pro Tyr Thr  
1 5

<210> 26  
<211> 104  
<212> БЕЛОК  
<213> Искусственная последовательность

<220>  
<223> вариабельный участок тяжелой цепи антитела GB3

<400> 26

Val Gln Leu Gln Gln Ser Gly Pro Glu Leu Val Lys Pro Gly Ala Ser  
1 5 10 15

Val Lys Ile Ser Cys Lys Ala Ser Gly Tyr Thr Phe Thr Asp Tyr Tyr  
20 25 30

Ile Tyr Trp Val Lys Gln Trp Pro Gly Gln Gly Leu Glu Trp Ile Gly  
35 40 45

Trp Ile Phe Pro Gly Thr Gly Asn Thr Tyr Tyr Asn Glu Asn Phe Lys  
50 55 60

Asp Lys Ala Thr Leu Thr Ile Asp Arg Ser Ser Ser Thr Ala Tyr Met  
65 70 75 80

Leu Leu Gly Ser Leu Thr Ser Glu Asp Ser Ala Val Tyr Phe Cys Tyr  
85 90 95

Gly Pro Phe Ala Tyr Trp Gly Gln  
100

<210> 27  
<211> 104  
<212> БЕЛОК  
<213> Искусственная последовательность

<220>  
<223> вариабельный участок тяжелой цепи антитела GB3

<400> 27

Arg Ile Gln Leu Thr Gln Ser Pro Ser Ser Leu Ser Ala Ser Leu Gly  
1 5 10 15

Glu Arg Val Ser Leu Thr Cys Arg Ala Ser Gln Glu Ile Ser Gly Tyr  
20 25 30

Leu Ser Trp Leu Gln Gln Lys Pro Asp Gly Thr Ile Lys Arg Leu Ile  
35 40 45

Tyr Ala Thr Ser Ala Leu Asp Ser Gly Val Pro Lys Arg Phe Ser Gly  
50 55 60

Ser Gly Ser Gly Ser Asn Tyr Ser Leu Thr Ile Ser Ser Leu Glu Ser  
65 70 75 80

Glu Asp Phe Ala Asp Tyr Tyr Cys Leu Gln Tyr Ala Asn Tyr Pro Tyr  
85 90 95

Thr Phe Gly Gly Thr Lys Leu  
100

<210> 28  
<211> 329  
<212> БЕЛОК  
<213> Искусственная последовательность

<220>  
<223> константный участок тяжелой цепи IgG с заменой N на A в положении 297 при упоминании полож. 1 как полож. 118

<400> 28

Ala Ser Thr Lys Gly Pro Ser Val Phe Pro Leu Ala Pro Ser Ser Lys  
1 5 10 15

Ser Thr Ser Gly Gly Thr Ala Ala Leu Gly Cys Leu Val Lys Asp Tyr  
20 25 30

Phe Pro Glu Pro Val Thr Val Ser Trp Asn Ser Gly Ala Leu Thr Ser  
35 40 45

Gly Val His Thr Phe Pro Ala Val Leu Gln Ser Ser Gly Leu Tyr Ser  
50 55 60

Leu Ser Ser Val Val Thr Val Pro Ser Ser Leu Gly Thr Gln Thr  
65 70 75 80

Tyr Ile Cys Asn Val Asn His Lys Pro Ser Asn Thr Lys Val Asp Lys  
85 90 95

Lys Val Glu Pro Lys Ser Cys Asp Lys Thr His Thr Cys Pro Pro Cys  
100 105 110

Pro Ala Pro Glu Leu Leu Gly Gly Pro Ser Val Phe Leu Phe Pro Pro  
115 120 125

Lys Pro Lys Asp Thr Leu Met Ile Ser Arg Thr Pro Glu Val Thr Cys  
130 135 140

Val Val Val Asp Val Ser His Glu Asp Pro Glu Val Lys Phe Asn Trp  
145 150 155 160

Tyr Val Asp Gly Val Glu Val His Asn Ala Lys Thr Lys Pro Arg Glu  
165 170 175

Glu Gln Tyr Ala Ser Thr Tyr Arg Val Val Ser Val Leu Thr Val Leu  
180 185 190

His Gln Asp Trp Leu Asn Gly Lys Glu Tyr Lys Cys Lys Val Ser Asn  
195 200 205

Lys Ala Leu Pro Ala Pro Ile Glu Lys Thr Ile Ser Lys Ala Lys Gly

210

215

220

Gln Pro Arg Glu Pro Gln Val Tyr Thr Leu Pro Pro Ser Arg Glu Glu  
225 230 235 240

Met Thr Lys Asn Gln Val Ser Leu Thr Cys Leu Val Lys Gly Phe Tyr  
245 250 255

Pro Ser Asp Ile Ala Val Glu Trp Glu Ser Asn Gly Gln Pro Glu Asn  
260 265 270

Asn Tyr Lys Thr Thr Pro Pro Val Leu Asp Ser Asp Gly Ser Phe Phe  
275 280 285

Leu Tyr Ser Lys Leu Thr Val Asp Lys Ser Arg Trp Gln Gln Gly Asn  
290 295 300

Val Phe Ser Cys Ser Val Met His Glu Ala Leu His Asn His Tyr Thr  
305 310 315 320

Gln Lys Ser Leu Ser Leu Ser Pro Gly  
325

<210> 29

<211> 5

<212> БЕЛОК

<213> Искусственная последовательность

<220>

<223> CDR1 из вариабельного участка тяжелой цепи

<220>

<221> другая

<222> (1)..(1)

<223> Xaa может представлять собой любую аминокислоту

<220>

<221> другая

<222> (1)..(1)

<223> Xaa может представлять собой любую аминокислоту

<220>

<221> другая

<222> (2)..(2)

<223> Xaa может представлять собой любую аминокислоту

<220>

<221> другая

<222> (3)..(3)

<223> Xaa может представлять собой любую аминокислоту

<220>

<221> другая

<222> (3)..(3)

<223> Xaa может представлять собой любую аминокислоту

<400> 29

Xaa Xaa Xaa Met Ala  
1 5

<210> 30  
<211> 17  
<212> БЕЛОК  
<213> Искусственная последовательность

<220>  
<223> CDR2 из вариабельного участка тяжелой цепи

<220>  
<221> другая  
<222> (2)..(2)  
<223> Xaa может представлять собой любую аминокислоту

<220>  
<221> другая  
<222> (2)..(2)  
<223> Xaa может представлять собой любую аминокислоту

<220>  
<221> другая  
<222> (8)..(8)  
<223> Xaa может представлять собой любую аминокислоту

<220>  
<221> другая  
<222> (9)..(9)  
<223> Xaa может представлять собой K или T

<220>  
<221> другая  
<222> (10)..(10)  
<223> Xaa может представлять собой любую аминокислоту

<220>  
<221> другая  
<222> (11)..(11)  
<223> Xaa может представлять собой любую аминокислоту

<220>  
<221> другая  
<222> (16)..(16)  
<223> Xaa может представлять собой любую аминокислоту

<220>  
<221> другая  
<222> (17)..(17)  
<223> Xaa может представлять собой любую аминокислоту

<220>  
<221> другая  
<222> (17)..(17)  
<223> Xaa может представлять собой любую аминокислоту

<400> 30

Ser Xaa Ser Tyr Asp Gly Ser Xaa Xaa Xaa Xaa Gly Asp Ser Val Xaa  
1 5 10 15

Xaa

<210> 31  
<211> 6  
<212> БЕЛОК  
<213> Искусственная последовательность  
  
<220>  
<223> CDR3 из вариабельного участка тяжелой цепи

<220>  
<221> другая  
<222> (3)..(3)  
<223> Xaa может представлять собой любую аминокислоту

<220>  
<221> другая  
<222> (3)..(3)  
<223> Xaa может представлять собой любую аминокислоту

<220>  
<221> другая  
<222> (5)..(5)  
<223> Xaa может представлять собой любую аминокислоту

<220>  
<221> другая  
<222> (6)..(6)  
<223> Xaa может представлять собой любую аминокислоту

<220>  
<221> другая  
<222> (6)..(6)  
<223> Xaa может представлять собой любую аминокислоту

<400> 31

Ala Arg Xaa Gly Xaa Xaa  
1 5

<210> 32  
<211> 11  
<212> БЕЛОК  
<213> Искусственная последовательность  
  
<220>  
<223> CDR1 из вариабельного участка легкой цепи

<220>  
<221> другая  
<222> (1)..(1)  
<223> Xaa может представлять собой любую аминокислоту  
  
<220>  
<221> другая  
<222> (2)..(2)  
<223> Xaa может представлять собой любую аминокислоту

<220>  
<221> другая  
<222> (3)..(3)  
<223> Хаа может представлять собой любую аминокислоту

<220>  
<221> другая  
<222> (4)..(4)  
<223> Хаа может представлять собой любую аминокислоту

<220>  
<221> другая  
<222> (5)..(5)  
<223> Хаа может представлять собой любую аминокислоту

<220>  
<221> другая  
<222> (7)..(7)  
<223> Хаа может представлять собой любую аминокислоту

<220>  
<221> другая  
<222> (8)..(8)  
<223> Хаа может представлять собой S или T

<220>  
<221> другая  
<222> (9)..(9)  
<223> Хаа может представлять собой любую аминокислоту

<400> 32

Xaa Xaa Xaa Xaa Xaa Val Xaa Xaa Xaa Val Asp  
1 5 10

<210> 33  
<211> 7  
<212> БЕЛОК  
<213> Искусственная последовательность

<220>  
<223> CDR2 из вариабельного участка легкой цепи

<220>  
<221> другая  
<222> (2)..(2)  
<223> Хаа может представлять собой любую аминокислоту

<220>  
<221> другая  
<222> (3)..(3)  
<223> Хаа может представлять собой любую аминокислоту

<220>  
<221> другая  
<222> (4)..(4)  
<223> Хаа может представлять собой T или N

<400> 33

Gly Xaa Xaa Xaa Arg Tyr Thr

<210> 34  
<211> 9  
<212> БЕЛОК  
<213> Искусственная последовательность

<220>  
<223> CDR3 из вариабельного участка легкой цепи

<220>  
<221> другая  
<222> (1)..(1)  
<223> Xaa может представлять собой любую аминокислоту

<220>  
<221> другая  
<222> (1)..(1)  
<223> Xaa может представлять собой любую аминокислоту

<220>  
<221> другая  
<222> (2)..(2)  
<223> Xaa может представлять собой любую аминокислоту

<220>  
<221> другая  
<222> (3)..(3)  
<223> Xaa может представлять собой любую аминокислоту

<220>  
<221> другая  
<222> (4)..(4)  
<223> Xaa может представлять собой любую аминокислоту

<220>  
<221> другая  
<222> (7)..(7)  
<223> Xaa может представлять собой любую аминокислоту

<220>  
<221> другая  
<222> (8)..(8)  
<223> Xaa может представлять собой любую аминокислоту

<220>  
<221> другая  
<222> (9)..(9)  
<223> Xaa может представлять собой любую аминокислоту

<220>  
<221> другая  
<222> (9)..(9)  
<223> Xaa может представлять собой любую аминокислоту

<400> 34

Xaa Xaa Xaa Xaa Asn His Xaa Xaa Xaa

**Формула изобретения**

1. Антитело к Fc $\gamma$ RIIB, которое содержит

Первоначально поданная  
формула изобретения

- (i) последовательность H-CDR1, которая на 60% или более идентична последовательности H-CDR1, приведенной под SEQ ID NO. 20,
- (ii) последовательность H-CDR2, которая на 36% или более идентична последовательности H-CDR2, приведенной под SEQ ID NO. 21,
- (iii) последовательность H-CDR3, которая на 50% или более идентична последовательности H-CDR3, приведенной под SEQ ID NO. 22,
- (iv) последовательность L-CDR1, которая на 64% или более идентична последовательности L-CDR1, приведенной под SEQ ID NO. 23,
- (v) последовательность L-CDR2, которая на 29% или более идентична последовательности L-CDR2, приведенной под SEQ ID NO. 24, и
- (vi) последовательность L-CDR3, которая на 78% или более идентична последовательности L-CDR3, приведенной под SEQ ID NO. 25, где указанное антитело повышает фосфорилирование ITIM Fc $\gamma$ RIIB клеток Daudi приблизительно в 4-10 раз по сравнению с клетками Daudi, не обработанными указанным антителом.

2. Антитело по п. 1, которое содержит в своем вариабельном участке тяжелой цепи H-CDR1, H-CDR2 и H-CDR3, которые приведены под SEQ ID NO. 29, 30 и 31, а в своем вариабельном участке легкой цепи - L-CDR1, L-CDR2 и L-CDR3, приведенные под SEQ ID NO. 32, 33 и 34, где указанное антитело повышает фосфорилирование ITIM Fc $\gamma$ RIIB клеток Daudi приблизительно в 4-10 раз по сравнению с клетками Daudi, не обработанными указанным антителом.

3. Антитело по любому из предыдущих пунктов, которое

- (a) содержит в своем вариабельном участке тяжелой цепи H-CDR1, H-CDR2 и H-CDR3, которые приведены под SEQ ID NO. 14, 15 и 16, а в своем

вариабельном участке легкой цепи - L-CDR1, L-CDR2 и L-CDR3, приведенные под SEQ ID NO. 17, 18 и 19; или

(b) содержит в своем вариабельном участке тяжелой цепи H-CDR1, H-CDR2 и H-CDR3, которые приведены под SEQ ID NO. 20, 21 и 22, а в своем вариабельном участке легкой цепи - L-CDR1, L-CDR2 и L-CDR3, приведенные под SEQ ID NO. 23, 24 и 25, где указанное антитело повышает фосфорилирование ITIM Fc $\gamma$ RIIB клеток Daudi приблизительно в 4-10 раз по сравнению с клетками Daudi, не обработанными указанным антителом.

4. Антитело по любому из предыдущих пунктов, которое является химерным или гуманизированным.

5. Антитело по любому из предыдущих пунктов, где вариабельный участок тяжелой цепи содержит аминокислотную последовательность, приведенную под SEQ ID NO. 3, по меньшей мере с одной из мутаций, выбранных из группы, включающей замену аминокислоты Q в положении 1 на E, замену аминокислоты V в положении 11 на L, замену аминокислоты G в положении 42 на K, замену аминокислоты S в положении 50 на V, замену аминокислоты Y в положении 53 на S, замену аминокислоты K в положении 58 на T, замену аминокислоты G в положении 61 на A, замену аминокислоты S в положении 75 на T, замену аминокислоты K в положении 76 на R, замену аминокислоты N в положении 77 на S и замену аминокислоты T в положении 78 на N.

6. Антитело по любому из предыдущих пунктов, где вариабельный участок легкой цепи содержит аминокислотную последовательность, приведенную под SEQ ID NO. 4, по меньшей мере с одной из мутаций, выбранных из группы, включающей замену аминокислоты Q в положении 1 на N, замену аминокислоты S в положении 28 на N, замену аминокислоты S в положении 31 на T, замену аминокислоты V в положении 33 на L, замену аминокислоты D в положении 34 на A, замену аминокислоты Y в положении 49 на F, замену аминокислоты T в положении 53 на N, замену аминокислоты Y в положении 55

на А, замену аминокислоты L в положении 89 на Q и замену аминокислоты N в положении 93 на Y.

7. Антитело по любому из предыдущих пунктов, которое содержит вариабельный участок тяжелой цепи, приведенный под SEQ ID NO. 1 или 3.

8. Антитело по любому из предыдущих пунктов, которое содержит вариабельный участок легкой цепи, приведенный под SEQ ID NO. 2 или 4.

9. Антитело по любому из предыдущих пунктов, которое специфично связывается с аминокислотами №№ 20-40 в человеческом Fc $\gamma$ RIIB в соответствии с SEQ ID NO. 5.

10. Антитело по любому из предыдущих пунктов, которое связывается *in vitro* с человеческим Fc $\gamma$ RIIb с аффинностью, характеризующейся константой скорости диссоциации, составляющей по меньшей мере  $4,9 \times 10^{-4} \text{ c}^{-1}$ .

11. Антитело по любому из предыдущих пунктов, которое содержит в своем константном участке тяжелой цепи аминокислотную последовательность, приведенную под SEQ ID NO. 6.

12. Антитело по любому из предыдущих пунктов, которое содержит в своем константном участке легкой цепи аминокислотную последовательность, приведенную под SEQ ID NO. 7.

13. Антитело к Fc $\gamma$ RIIB, которое содержит вариабельный участок тяжелой цепи, приведенный под SEQ ID NO. 1 или 3, и/или вариабельный участок легкой цепи, приведенный под SEQ ID NO. 2 или 4.

14. Антитело по п. 13, которое содержит в своем константном участке тяжелой цепи аминокислотную последовательность, приведенную под SEQ ID NO. 6.

15. Антитело по п. 13 или п. 14, которое содержит в своем константном участке легкой цепи аминокислотную последовательность, приведенную под SEQ ID NO. 7.

16. Последовательность нуклеиновой кислоты, кодирующая антитело по любому из пп. 1-15.
17. Вектор нуклеиновой кислоты, содержащий по меньшей мере одну из последовательностей нуклеиновой кислоты по п. 16, встроенную в молекулу вектора.
18. Клетка-хозяин, трансфицированная вектором нуклеиновой кислоты по п. 17.
19. Фармацевтическая композиция, содержащая в качестве активного ингредиента антитело по любому из пп. 1-15.
20. Антитело по любому из пп. 1-15 для применения в способе лечения или профилактики аутоиммунного заболевания, причем указанное аутоиммунное заболевание характеризуется продукцией аутоиммунных антител.
21. Антитело по любому из пп. 1-15 для применения в способе лечения или профилактики иммунной тромбоцитопении, системной красной волчанки, пернициозной анемии, болезни Аддисона, диабета 1 типа, ревматоидного артрита, синдрома Шегрена, дерматомиозита, рассеянного склероза, миастении гравис, синдрома Рейтера, болезни Грейвса, обыкновенной и буллезной пузырчатки, аутоиммунного гепатита, неспецифического язвенного колита, болезни холодовых агглютининов и аутоиммунной периферической невропатии.
22. Способ получения антитела по любому из пп. 1-15, включающий культивирование клетки-хозяина по п. 18 в условиях, которые обеспечивают возможность экспрессии последовательности нуклеиновой кислоты, содержащейся в векторе нуклеиновой кислоты по п. 17, и выделение полученного таким образом антитела.

SPR-анализ гуманизированных вариантов 8A6 WT и N297A, GB3 WT и ch8A6 WT

Фигура 1

	K <sub>off</sub> [c <sup>-1</sup> ]
hu8A6_wt	9.5 x 10 <sup>-4</sup>
hu8A6_N297A	8.8 x 10 <sup>-4</sup>
ch8A6_wt	4.9 x 10 <sup>-4</sup>
chGB3_N297A	1 x 10 <sup>-2</sup>

Фигура 1. Анализ с помощью поверхностного плазмонного резонанса гуманизированного 8A6 (hu8A6\_VH10+VL6) в соответствии с SEQ. ID. No. 3 и 4 либо в формате дикого типа, либо в формате N297, ch8A6\_WT (в соответствии с SEQ. ID. NO. 1 и 2) и chGB3\_N297A.

## Фигура 2

### Последовательность hu8A6\_wt и hu8A6-N297A

5

Аминокислоты в вариабельных участках пронумерованы вне зависимости от схемы нумерации. Для лучшего понимания изменений аминокислот в Fc-домене была выбрана EU-нумерация.

#### **Тяжелая цепь / гуманизированное 8A6\_wt (гликозилированное)**

10 VH-домен (вариант VH10)

1 QVQLVESGGG VVQPGRLSLRL SCAASGFTFS DYYMAWVRQA PGKGLEWVAS ISYDGSNKYY  
 61 GDSVKGRFTI SRDNSKNLTY LQMNSLRAED TAVYYCARPG DYWGQGTLVT VSS (SEQ ID NO. 3)

15 Fc-домен (гликозилированный N297 / аллотип Glml7, содержащий K214; E356; M358; A431 / без C-концевого Lys; в соответствии с Eu-нумерацией)

118 ASTKGPSVFP LAPSSKSTSG GTAALGCLVK DYFPEPVTVS WNSGALTSGV HTFPAPVLQSS  
 178 GLYSLSVVVT VPSSSLGTQT YICNVNWKPS NTKVDKKVEP KSCDKTHTCP PCPAPELLGG  
 238 PSVFLFPPKP KDTLMISRTP EVTCVVVDVS HEDPEVKFNW YVDGVEVHNA KTKPREEQVN  
 20 298 STYRVVSVLT VLHQDWLNGK EYKCKVSNKA LPAPIEKTIS KAKGQPREPQ VYTLPPSREE  
 358 MTKNQVSLTC LVKGFYPSDI AVEWESNGQP ENNYKTTPPV LDSDGSFFLY SKLTVDKSRW  
 418 QQGNVFSCSV MHEALHNHYT QKSLSLSPG- (SEQ ID NO. 6)

#### **Тяжелая цепь / гуманизированное 8A6\_N297A (дегликозилированное)**

25 VH-домен см. выше

Fc-домен (вариант с N297A / аллотип Glml7, содержащий K214; E356; M358; A431 / без C-концевого Lys; в соответствии с Eu-нумерацией)

118 ASTKGPSVFP LAPSSKSTSG GTAALGCLVK DYFPEPVTVS WNSGALTSGV HTFPAPVLQSS  
 178 GLYSLSVVVT VPSSSLGTQT YICNVNWKPS NTKVDKKVEP KSCDKTHTCP PCPAPELLGG  
 30 238 PSVFLFPPKP KDTLMISRTP EVTCVVVDVS HEDPEVKFNW YVDGVEVHNA KTKPREEQYA  
 298 STYRVVSVLT VLHQDWLNGK EYKCKVSNKA LPAPIEKTIS KAKGQPREPQ VYTLPPSREE  
 358 MTKNQVSLTC LVKGFYPSDI AVEWESNGQP ENNYKTTPPV LDSDGSFFLY SKLTVDKSRW  
 418 QQGNVFSCSV MHEALHNHYT QKSLSLSPG- (SEQ ID NO. 28)

35

Фигура 2. Последовательности вариантов hu8A6\_wt и hu8A6\_N297A, показывающие положение аминокислотной модификации N на A в формате N297A

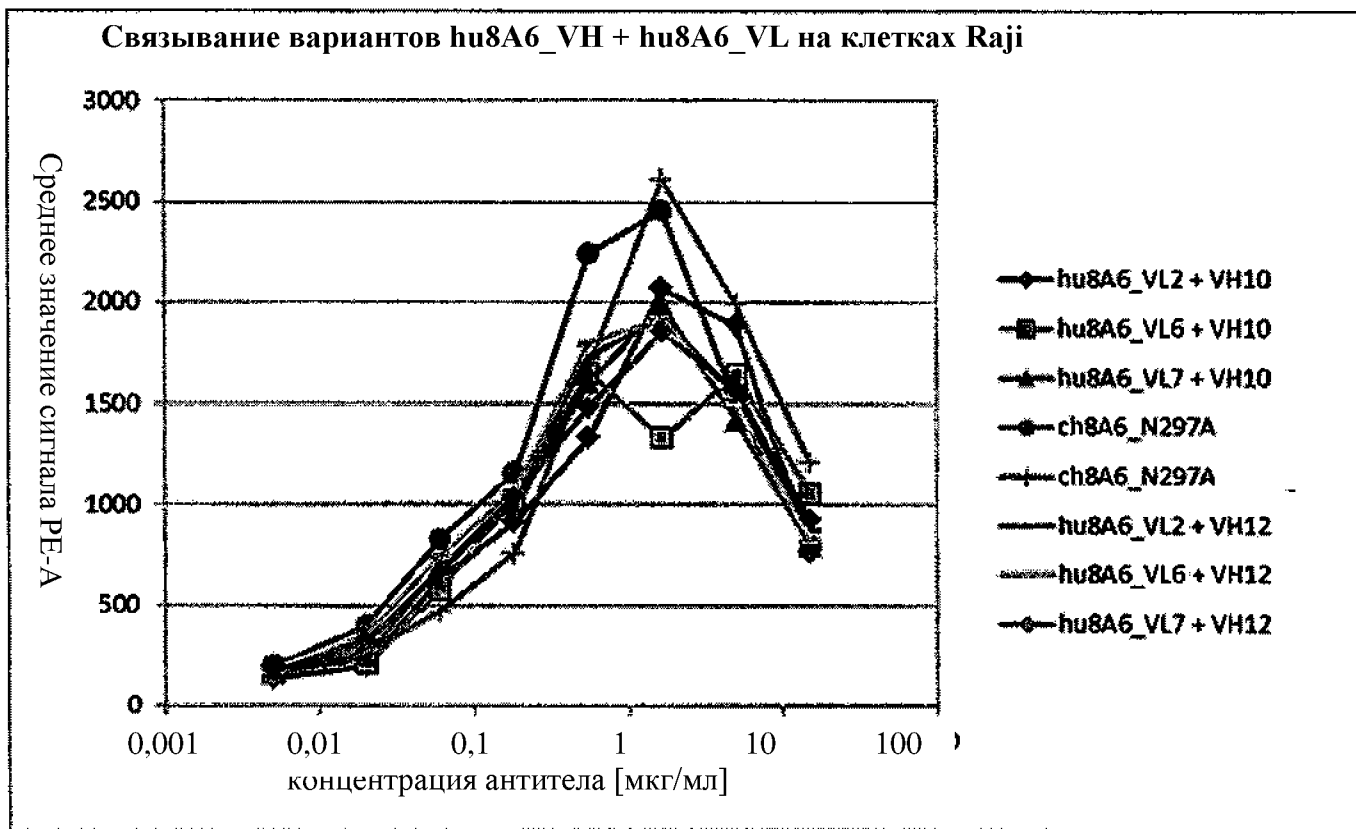
Фигура 3



Фигура 3. Характеристика неблокирующих свойств ch8A6\_N297A. Клетки Raji инкубировали с заданным количеством агрегированного человеческого IgG и варьирующими количествами ch8A6\_N297A, chGB3\_N297A или блокирующих антител 2B6 или mab1875 (R&D). Антитела согласно настоящему изобретению являются неблокирующими

FACS-анализ, показывающий характеристики неблокирующих свойств ch8A6\_N297A

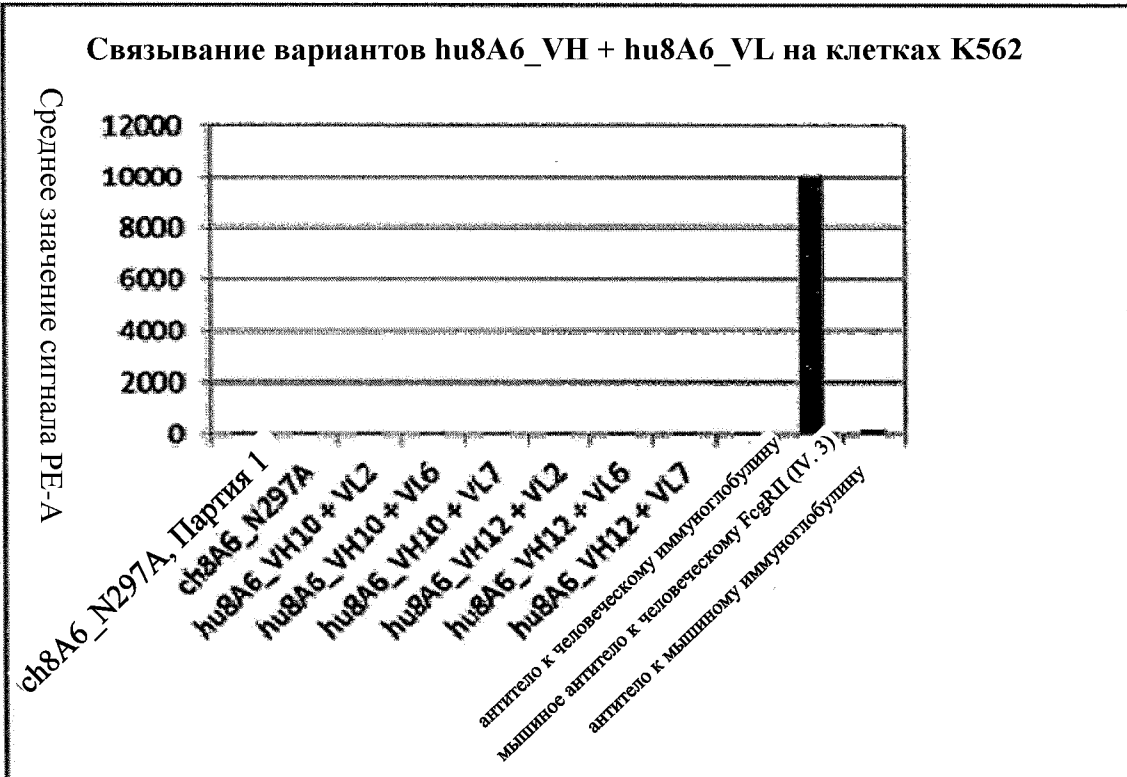
FACS-анализ специфичности связывания гуманизированных вариантов 8A6



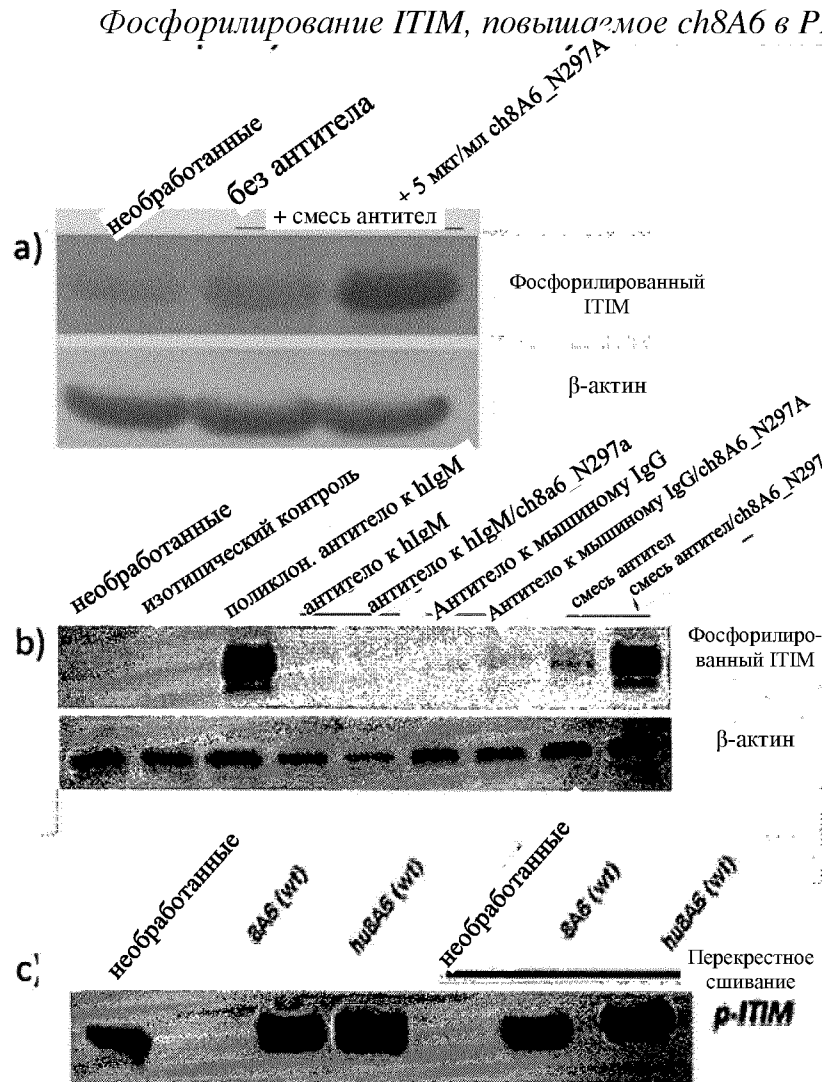
Фигура 4

Фигура 4. Связывание очищенного с использованием белка A антитела (hu8A6\_VL + hu8A6\_VH и ch8A6\_N297A) в концентрации от 15 мкг/мл до 0,005 мкг/мл с нативным Fc $\gamma$ RIIB, экспрессируемым на клетках Raji. Гуманизированные варианты 8A6 связываются с высокойavidностью с Fc $\gamma$ RIIB, экспрессируемым на клетках Raji.

Фигура 5

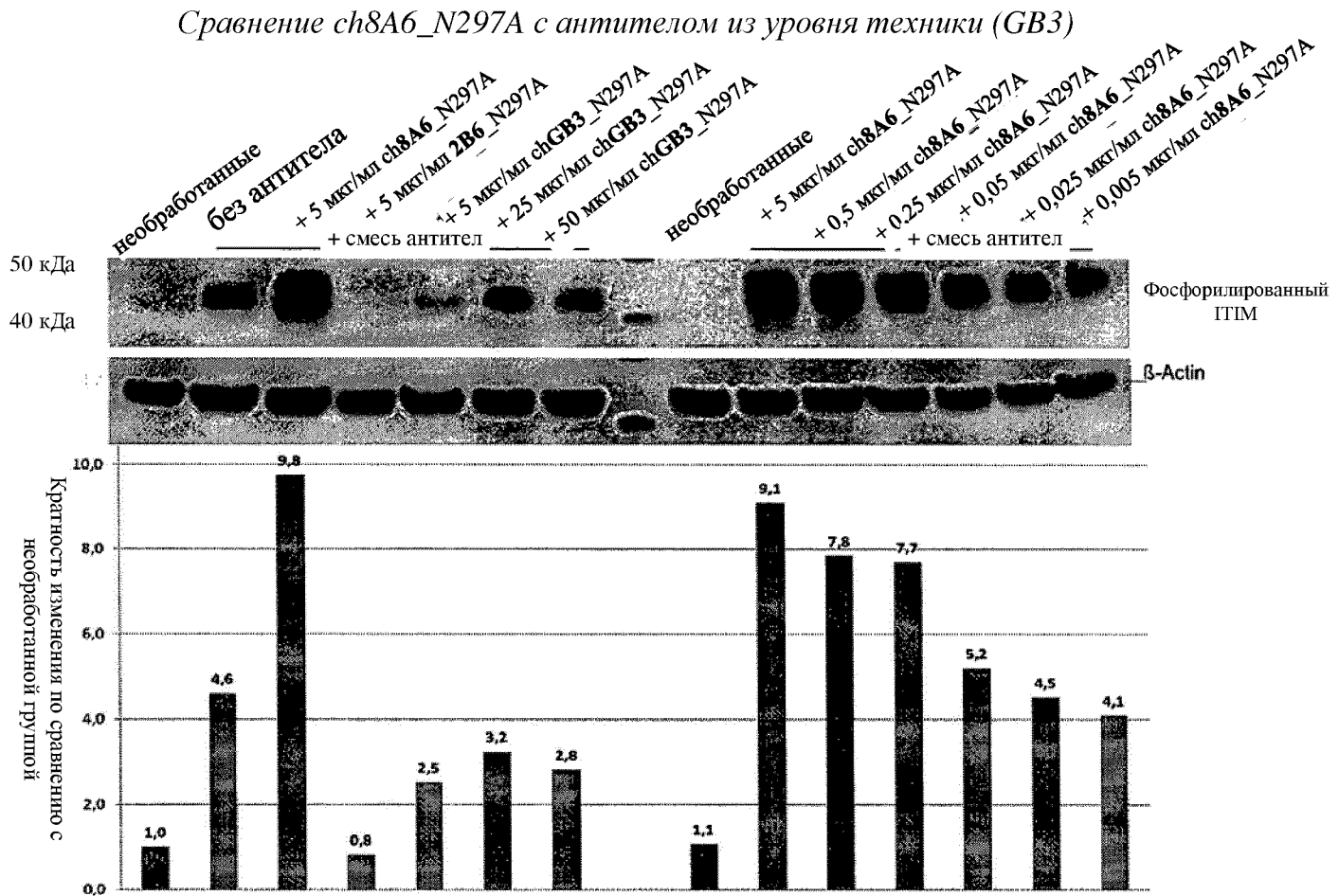


Фигура 5. Связывание очищенного с использованием белка A (hu8A6\_VH + hu8A6\_VL и ch8A6\_N297A) и ch8A6\_N297A в концентрации 15 мкг/мл с нативным Fc $\gamma$ RIIA, экспрессируемым на клетках K562. Антитела согласно настоящему изобретению не связываются с Fc $\gamma$ RIIA на K-562.



## Фигура 6

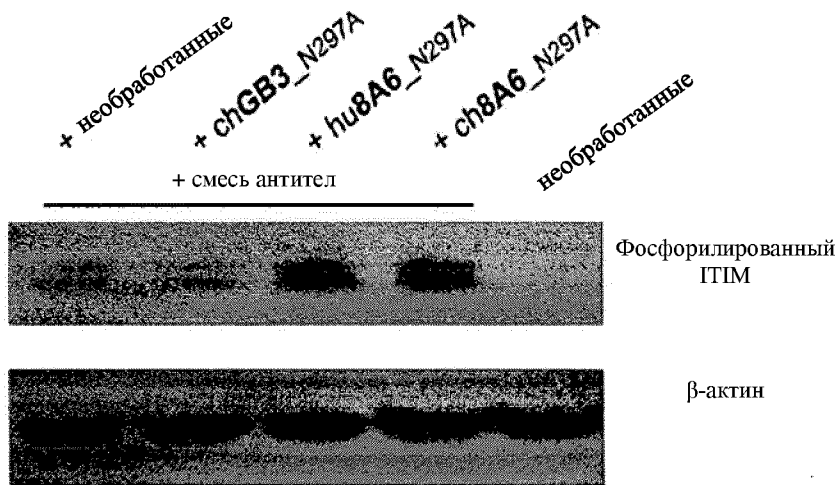
Фигура 7



Фигура 7.

Анализ фосфорилирования ITIM. Клетки Daudi либо оставляли необработанными, либо инкубировали в течение 25 минут со смесью антител, содержащей антитело к IgM (мышиное антитело к иммуноглобулину человека) и антитело к мышенному IgG (кроличье). После этого клетки обрабатывали 20 минут либо варьирующими количествами chGB3\_N297A или ch8A6\_N297A, либо буфером в качестве контроля (без антитела). Клетки собирали после инкубирования и лизировали в соответствии с протоколом. Лизаты подвергали WB-анализу. β-актин = загрузочный контроль.

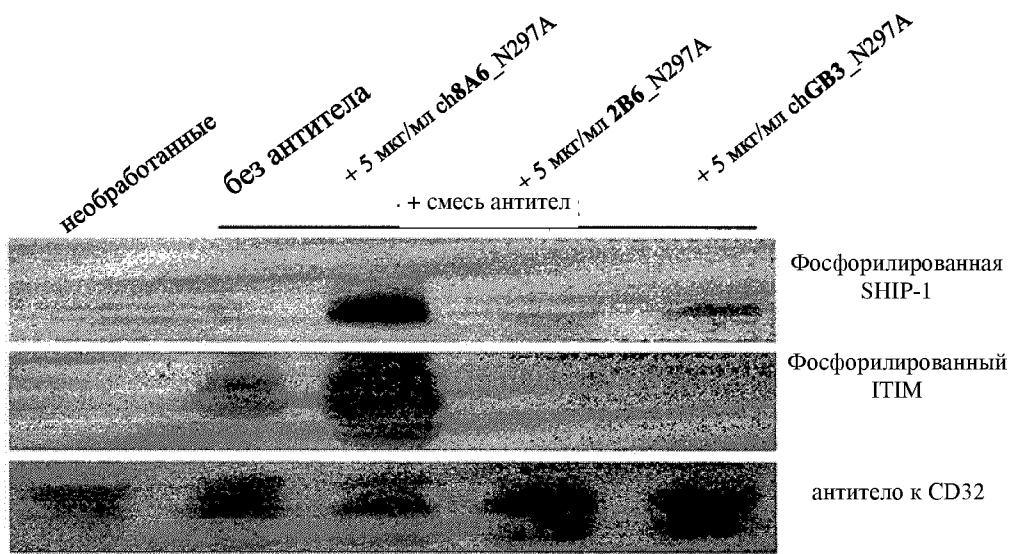
Сравнение эффекта гуманизированного варианта hu8A6\_N297A, chGB3\_N297A и ch8A6\_N297A в отношении фосфорилирования ITIM в первичных PBMC



Фигура 8

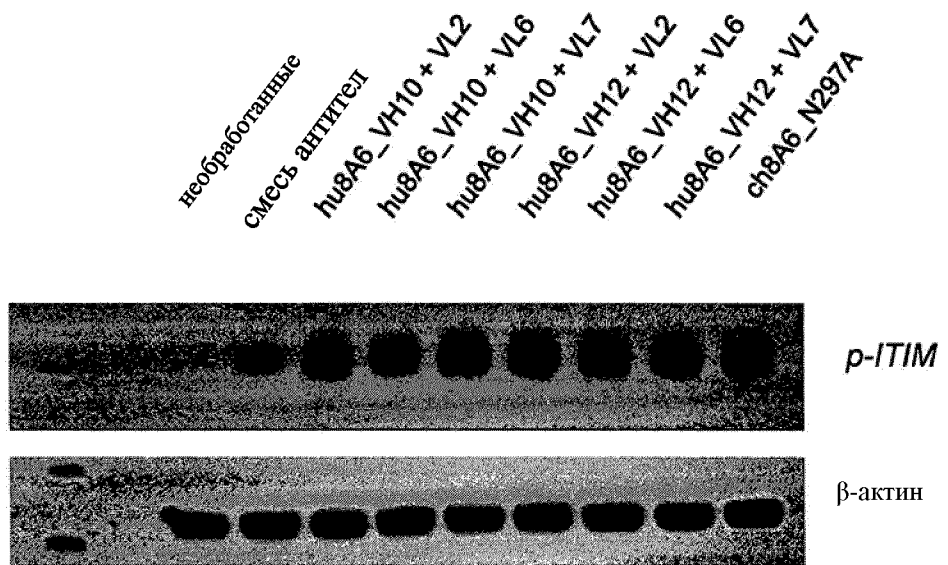
Фигура 8. Сравнение эффекта гуманизированного варианта hu8A6\_N297A, chGB3\_N297A и ch8A6\_N297A в отношении фосфорилирования ITIM в первичных PBMC. После перекрестного сшивания BCR и Fc $\gamma$ RIIB смесью антител различные антитела добавляли в концентрации 5 мкг/мл и проводили анализ с помощью Вестерн-блоттинга в отношении фосфорилирования ITIM.  $\beta$ -актин = загрузочный контроль.

Фигура 9



Фигура 9. Совместное иммуноосаждение фосфорилированного SHIP-1 и Fc $\gamma$ RIIB с ITIM. После стимуляции клеток Daudi смесью антител и любым из ch8A6\_N297A, блокирующего антитела 2B6 к Fc $\gamma$ RIIB или chGB3\_N297A (5 мкг/мл) Fc $\gamma$ RIIB осаждали из клеточных лизатов и проводили анализ с помощью Вестерн-блоттинга в отношении фосфатазы SHIP-1. Антитело к CD32 с использованием панспецифичного антитела к CD32 (AF1330) = загрузочный контроль.

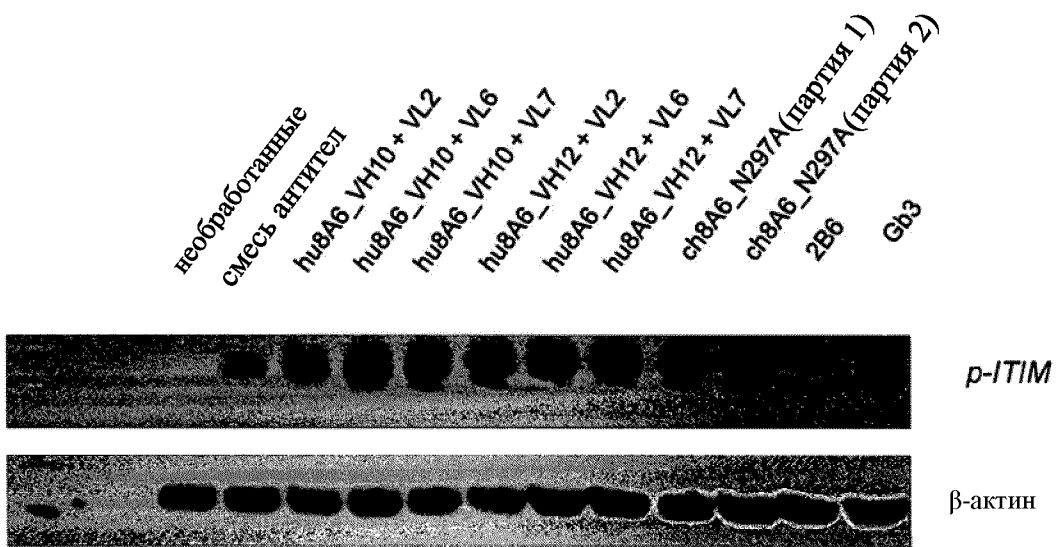
Фигура 10



Фигура 10.

Анализ фосфорилирования ITIM. Клетки Daudi оставляли инкубироваться в течение 25 минут с буфером (необработанные) или со смесью (смесь антител), содержащей антитело к IgM (мышиное антитело к иммуноглобулину человека) и антитело к мышенному IgG (кроличье). Затем клетки обрабатывали 20 минут либо 0,25 мкг/мл ch8A6\_N297A, либо гуманизированными вариантами 8A6 hu8A6-VH10+VL2/VH10+VL6/ VH10+VL7/VH12+VL2/VH12+VL6/VH12+VL7. Клетки собирали после инкубирования и лизировали в соответствии с протоколом. Лизаты подвергали WB-анализу.  $\beta$ -актин = загрузочный контроль.

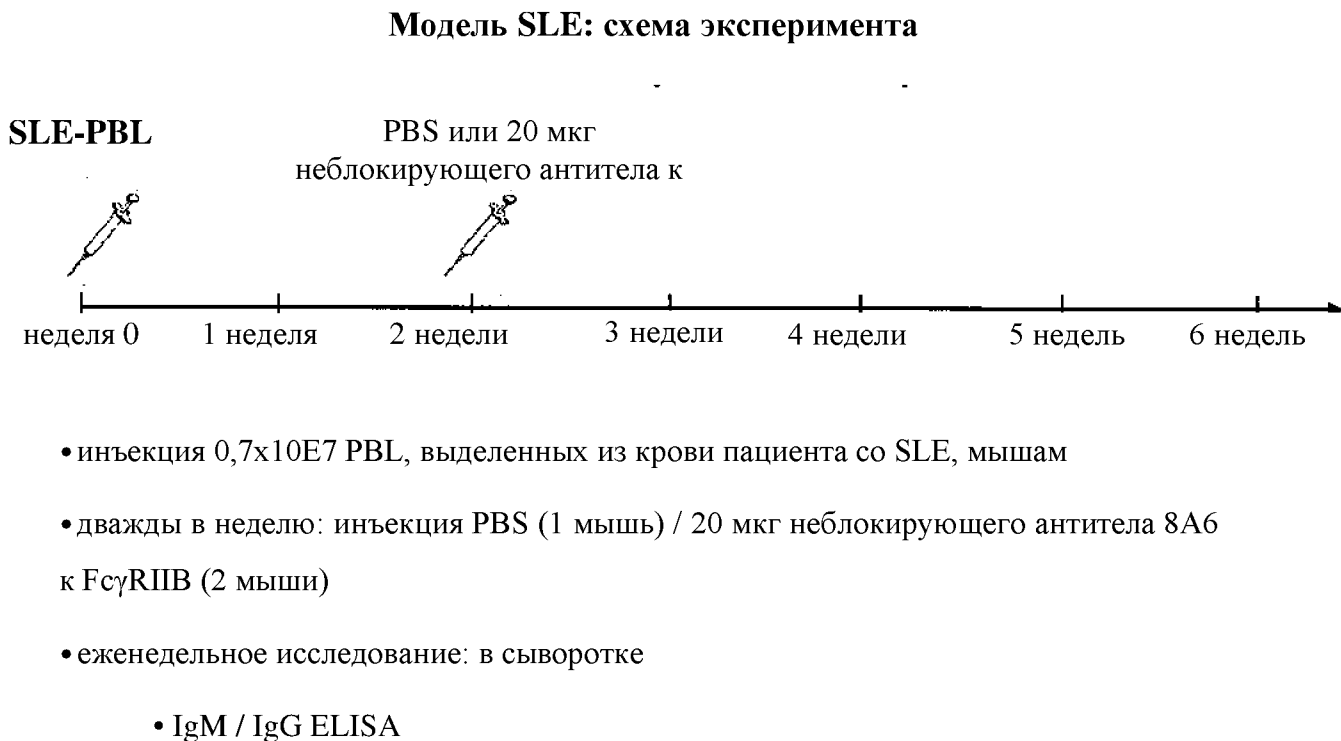
Фигура 11



Фигура 11.

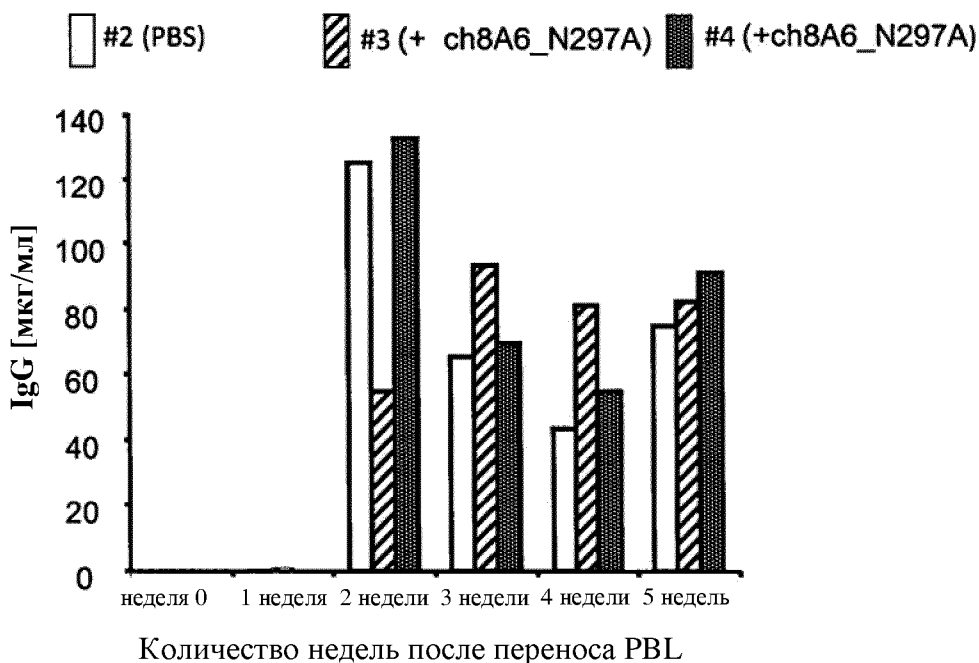
Анализ фосфорилирования ITIM. Клетки Daudi оставляли инкубироваться в течение 25 минут с буфером (необработанные) или со смесью (смесь антител), содержащей антитело к IgM (мышиное антитело к иммуноглобулину человека) и антитело к мышенному IgG (кроличье). Затем клетки обрабатывали 20 минут любым из 0,25 мкг/мл ch8A6\_N297A, гуманизированных вариантов 8A6 hu8A6-VH10+VL2/VH10+VL6/VH10+VL7/VH12+VL2/VH12+VL6/VH12+VL7), блокирующего антитела 2B6 или chGB3\_N297A. Клетки собирали после инкубирования и лизировали в соответствии с протоколом. Лизаты подвергали WB-анализу. β-актин = загрузочный контроль.

Фигура 12



Фигура 12. Схема эксперимента для мышевой модели SLE-PBL. PBL от пациентов-людей со SLE переносят в иммунодефицитных мышах. PBL-клетки пересаживаются и мышей впоследствии обрабатываются контролем (PBS) или антителом ch8A6\_N297A к Fc $\gamma$ RIIB согласно настоящему изобретению.

Фигура 13



Фигура 13.

Общий уровень человеческого IgG [мкг/мл] у мышей, которым пересадили PBL от доноров-людей, страдающих от SLE. Описаны мыши, обработанные контролем (#2, PBS) или химерным 8A6 = ch8A6\_N297A (#3 и #4), антителом к Fc $\gamma$ R<sub>IIIB</sub>, формат N297A. Не обнаружено значительных отличий в общем уровне человеческого IgG между PBS или антителом к Fc $\gamma$ RNB.

Фигура 14



Фигура 14:

Снижение уровня специфических к заболеванию человеческих антител IgG к ДНК у обработанных ch8A6\_N297A мышей, начиная с 4 недели после переноса/пересадки SLE-PBL. Изображены титры антител IgG к ДНК у двух различных мышей, #3 и #4 (обработанные ch8A6\_N297A), #2 показан контроль с PBS.